

PROGETTO DEFINITIVO

Valorizzazione area ASSL via Marconi

Realizzazione di un edificio con destinazione archivio cartaceo
(progetto 1° stralcio funzionale esecutivo)

Comune di Oristano

COMMITTENTE

Comune di Oristano

RESPONSABILE DEL PROCEDIMENTO

Geom. Antonio Vacca

PROGETTISTI

Arch. Tonino Tola (Capogruppo)

Arch. Mario Casciu

Ing. Giaime Cabras

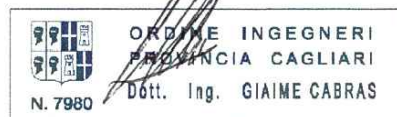
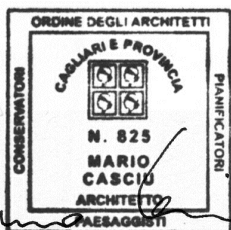
via Cagliari 165

09170 Oristano

Tel: +390783 300275

Fax: +390783 300275

e-mail: tonitola@gmail.com



relazione
struttura
calcoli

E03

GIUGNO 2017

1 - DESCRIZIONE GENERALE DELL'OPERA

L'edificio è costituito da un unico livello fuori terra, la forma in pianta è rettangolare con dimensioni massime nelle due direzioni di 42,65 metri e 15 metri. Sul prospetto Nord è previsto uno spazio ad hoc per consentire il carico e lo scarico da parte di mezzi pesanti. Le altezze interne tra estradosso del solaio e il piano di calpestio sono rispettivamente di 4,70 metri per le aree di deposito e di 3,20 per la zona distributiva e per gli uffici. L'altezza finita delle facciate è di 5,55 metri.

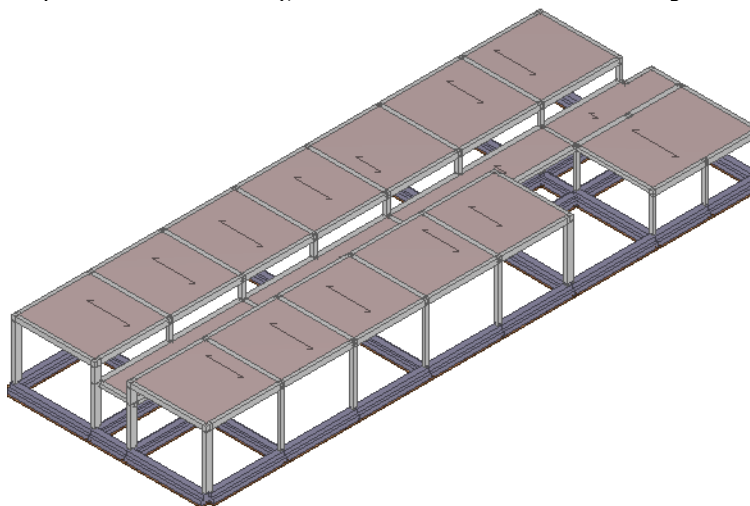
La struttura è composta da un telaio semplice in calcestruzzo che costituisce l'ossatura dell'edificio. Le fondazioni sono costruite attraverso travi continue che formano un cordolo perimetrale all'interno del quale si sviluppano altre due coppie di travi che uniscono verticalmente e orizzontalmente le file di pilastri posizionate all'interno dell'edificio.

La struttura portante in elevazione è costituita da pilastri e travi in c.a.; i solai di copertura sono di tipo misto, composti da travetti tralicciati tipo bausta con blocchi interposti di alleggerimento in laterizio e getto di completamento in c.a.

Vengono riportate di seguito due viste assonometriche contrapposte, allo scopo di consentire una migliore comprensione della struttura oggetto della presente relazione:

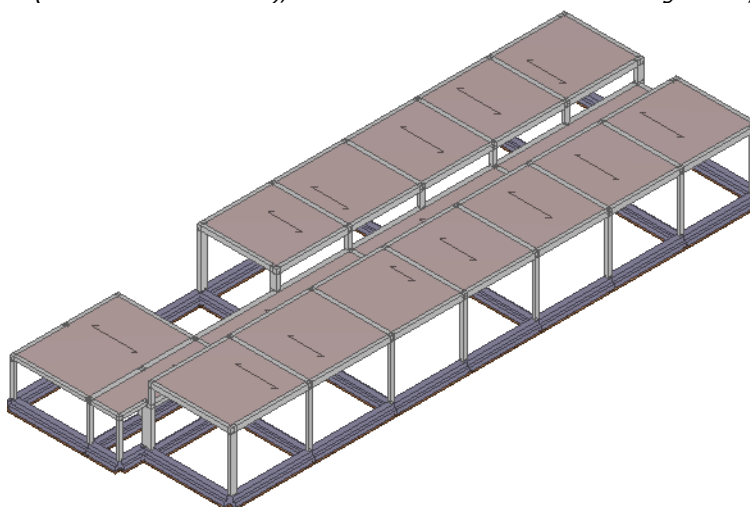
Vista Anteriore

La direzione di visualizzazione (bisettrice del cono ottico), relativamente al sistema di riferimento globale 0,X,Y, Z, ha versore (1;1;-1)



Vista Posteriore

La direzione di visualizzazione (bisettrice del cono ottico), relativamente al sistema di riferimento globale 0,X,Y, Z, ha versore (-1;-1;-1)



2 - NORMATIVA DI RIFERIMENTO

Le fasi di analisi e verifica della struttura sono state condotte in accordo alle seguenti disposizioni normative, per quanto applicabili in relazione al criterio di calcolo adottato dal progettista, evidenziato nel prosieguo della presente relazione:

Legge 5 novembre 1971 n. 1086 (G. U. 21 dicembre 1971 n. 321)

"Norme per la disciplina delle opere di conglomerato cementizio armato, normale e precompresso ed a struttura metallica".

Legge 2 febbraio 1974 n. 64 (G. U. 21 marzo 1974 n. 76)

"Provvedimenti per le costruzioni con particolari prescrizioni per le zone sismiche".

Indicazioni progettive per le nuove costruzioni in zone sismiche a cura del Ministero per la Ricerca scientifica - Roma 1981.

D. M. Infrastrutture Trasporti 14 gennaio 2008 (G.U. 4 febbraio 2008 n. 29 - Suppl. Ord.)

"Norme tecniche per le Costruzioni".

Inoltre, in mancanza di specifiche indicazioni, ad integrazione della norma precedente e per quanto con esse non in contrasto, sono state utilizzate le indicazioni contenute nella:

Circolare 2 febbraio 2009 n. 617 del Ministero delle Infrastrutture e dei Trasporti (G.U. 26 febbraio 2009 n. 27 – Suppl. Ord.)

"Istruzioni per l'applicazione delle 'Norme Tecniche delle Costruzioni' di cui al D.M. 14 gennaio 2008".

3 - MATERIALI IMPIEGATI E RESISTENZE DI CALCOLO

Per la realizzazione dell'opera in oggetto saranno impiegati i seguenti materiali:

MATERIALI CALCESTRUZZO ARMATO

N _{id}	γ _k	α _{T, i}	E	G	C _{Erid}	Stz	R _{ck}	R _{cm}	%R _{ck}	γ _c	Caratteristiche calcestruzzo armato				
											f _{cd}	f _{ctd}	f _{cfm}	N	n Ac
Cls C25/30_B450C - (C25/30)															
001	25.000	0,000010	31.447	13.103	60	P	30,00	-	0,85	1,50	14,11	1,19	3,07	15	002

LEGENDA:

- N_{id}** Numero identificativo del materiale, nella relativa tabella dei materiali.
- γ_k** Peso specifico.
- α_{T, i}** Coefficiente di dilatazione termica.
- E** Modulo elastico normale.
- G** Modulo elastico tangenziale.
- C_{Erid}** Coefficiente di riduzione del Modulo elastico normale per Analisi Sismica [$E_{sisma} = E \cdot C_{Erid}$].
- Stz** Tipo di situazione: [F] = di Fatto (Esistente); [P] = di Progetto (Nuovo).
- R_{ck}** Resistenza caratteristica cubica.
- R_{cm}** Resistenza media cubica.
- %R_{ck}** Percentuale di riduzione della R_{ck}
- γ_c** Coefficiente parziale di sicurezza del materiale.
- f_{cd}** Resistenza di calcolo a compressione.
- f_{ctd}** Resistenza di calcolo a trazione.
- f_{cfm}** Resistenza media a trazione per flessione.
- n Ac** Identificativo, nella relativa tabella materiali, dell'acciaio utilizzato: [-] = parametro NON significativo per il materiale.

MATERIALI ACCIAIO

N _{id}	γ _k	α _{T, i}	E	G	Stz	f _{yk,1} / f _{yk,2}	f _{tk,1} / f _{tk,2}	f _{yd,1} / f _{yd,2}	f _{td}	γ _s	γ _{M1}	γ _{M2}	Caratteristiche acciaio				
													γ _{M3,SL} V	γ _{M3,SLE}	γ _{M7}		
															NCnt	Cnt	
	[N/m ³]	[1/°C]	[N/mm ²]	[N/mm ²]		[N/mm ²]	[N/mm ²]	[N/mm ²]	[N/mm ²]								
Acciaio B450C - (B450C)																	
002	78.500	0,000010	210.00 0	80.769	P	450,00	-	391,30	-	1,15	-	-	-	-	-	-	-
						-		-									

LEGENDA:

- N_{id}** Numero identificativo del materiale, nella relativa tabella dei materiali.
- γ_k** Peso specifico.
- α_{T, i}** Coefficiente di dilatazione termica.
- E** Modulo elastico normale.
- G** Modulo elastico tangenziale.
- Stz** Tipo di situazione: [F] = di Fatto (Esistente); [P] = di Progetto (Nuovo).
- f_{tk,1}** Resistenza caratteristica a Rottura (per profili con t ≤ 40 mm).
- f_{tk,2}** Resistenza caratteristica a Rottura (per profili con 40 mm < t ≤ 80 mm).
- f_{td}** Resistenza di calcolo a Rottura (Bulloni).
- γ_s** Coefficiente parziale di sicurezza allo SLV del materiale.
- γ_{M1}** Coefficiente parziale di sicurezza per instabilità.
- γ_{M2}** Coefficiente parziale di sicurezza per sezioni tese indebolite.
- γ_{M3,SL}** Coefficiente parziale di sicurezza per scorrimento allo SLV (Bulloni).
- V**
- γ_{M3,SLE}** Coefficiente parziale di sicurezza per scorrimento allo SLE (Bulloni).
- γ_{M7}** Coefficiente parziale di sicurezza precarico di bulloni ad alta resistenza (Bulloni - NCnt = con serraggio NON controllato; Cnt = con serraggio controllato). [-] = parametro NON significativo per il materiale.
- f_{yk,1}** Resistenza caratteristica allo snervamento (per profili con t ≤ 40 mm).
- f_{yk,2}** Resistenza caratteristica allo snervamento (per profili con 40 mm < t ≤ 80 mm).
- f_{yd,1}** Resistenza di calcolo (per profili con t ≤ 40 mm).
- f_{yd,2}** Resistenza di calcolo (per profili con 40 mm < t ≤ 80 mm).
- NOTE** [-] = Parametro non significativo per il materiale.

TENSIONI AMMISSIBILI ALLO SLE DEI VARI MATERIALI

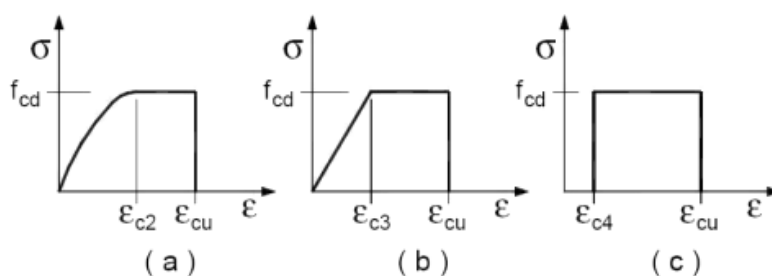
Tensioni ammissibili allo SLE dei vari materiali			
Materiale	SL	Tensione di verifica	σ _{d,amm}
			[N/mm ²]
Cls C25/30_B450C	Caratteristica(RARA) Quasi permanente	Compressione Calcestruzzo	14,94
Acciaio B450C	Caratteristica(RARA)	Compressione Calcestruzzo	11,21
		Trazione Acciaio	360,00

LEGENDA:

- SL** Stato limite di esercizio per cui si esegue la verifica.
- σ_{d,amm}** Tensione ammissibile per la verifica.

Tutti i materiali impiegati dovranno essere comunque verificati con opportune prove di laboratorio secondo le prescrizioni della vigente Normativa.

I diagrammi costitutivi degli elementi in calcestruzzo sono stati adottati in conformità alle indicazioni riportate al par. 4.1.2.1.2.2 del D.M. 14/01/2008; in particolare per le verifiche effettuate a pressoflessione retta e pressoflessione deviata è adottato il modello riportato in fig. (a).



Diagrammi di calcolo tensione/deformazione del calcestruzzo.

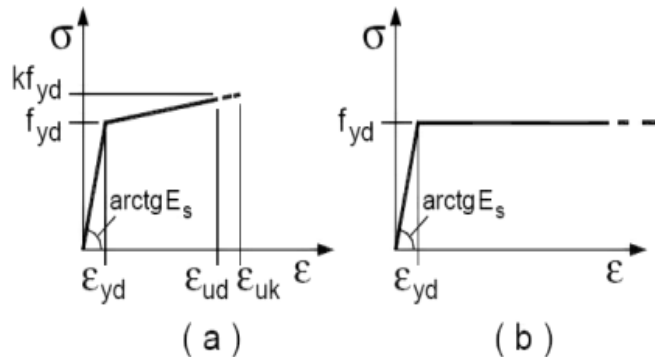
I valori di deformazione assunti sono:

$$\varepsilon_{c2} = 0,0020;$$

$$\varepsilon_{cu2} = 0,0035.$$

I diagrammi costitutivi dell'acciaio sono stati adottati in conformità alle indicazioni riportate al par. 4.1.2.1.2.3 del D.M. 14/01/2008; in particolare è adottato il modello elastico perfettamente plastico rappresentato in fig. (b).

La resistenza di calcolo è data da f_{yk}/γ_f . Il coefficiente di sicurezza γ_f si assume pari a 1,15.



4 - TERRENO DI FONDAZIONE

Le indagini effettuate, mirate alla valutazione della velocità delle onde di taglio (V_{s30}) e/o del numero di colpi dello Standard Penetration Test (N_{SPT}), permettono di classificare il profilo stratigrafico, ai fini della determinazione dell'azione sismica, di categoria **C [C - Depositi di terreni a grana grossa mediamente addensati o terreni a grana fina mediamente consistenti]**.

5 - ANALISI DEI CARICHI

Un'accurata valutazione dei carichi è un requisito imprescindibile di una corretta progettazione, in particolare per le costruzioni realizzate in zona sismica.

Essa, infatti, è fondamentale ai fini della determinazione delle forze sismiche, in quanto incide sulla valutazione delle masse e dei periodi propri della struttura dai quali dipendono i valori delle accelerazioni (ordinate degli spettri di progetto).

La valutazione dei carichi e dei sovraccarichi è stata effettuata in accordo con le disposizioni del **D.M. 14/01/2008**.

La valutazione dei carichi permanenti è effettuata sulle dimensioni definitive.

Le analisi effettuate, corredate da dettagliate descrizioni, oltre che nei "Tabulati di calcolo" nella relativa sezione, sono di seguito riportate:

ANALISI CARICHI

N _{id}	T. C.	Descrizione del Carico	Tipologie di Carico	Analisi carichi						
				Peso Proprio		Permanente NON Strutturale		Sovraccarico Accidentale		Carico Neve
				Descrizione	PP	Descrizione	PNS	Descrizione	SA	
001	S	thermothek bio 30 + marrone f v	Carico Permanente	thermothek bio 30 + marrone f v	3.900	intonaco interno e rinzaffo	500		0	0
002	S	Parete 30cm	Carico Permanente	thermothek bio 30	1.600	Intonaco interno e intonaco esterno	740		0	0
003	S	LatCem Cop.non acc. H24	Coperture	Solaio di tipo tradizionale latero-cementizio di spessore 24 cm (20+4)	3.400	Pietrisco, impermeabilizzazione, masseto di pendenza, isolamento, e intonaco inferiore	2.750	Coperture e sottotetti accessibili per sola manutenzione (Cat. H1 – Tab. 3.1.II - DM 14.01.2008)	1.000	500

LEGENDA:

N_{id} Numero identificativo dell'analisi di carico.

T. C. Identificativo del tipo di carico: [S] = Superficiale - [L] = Lineare - [C] = Concentrato.

PP, PNS, SA Valori, rispettivamente, del Peso Proprio, del Sovraccarico Permanente NON strutturale, del Sovraccarico Accidentale. Secondo il tipo di carico indicato nella colonna "T.C." ("S" - "L" - "C"), i valori riportati nelle colonne "PP", "PNS" e "SA", sono espressi in [N/m²] per carichi Superficiali, [N/m] per carichi Lineari, [N] per carichi Concentrati.

6 - VALUTAZIONE DELL'AZIONE SISMICA

L'azione sismica è stata valutata in conformità alle indicazioni riportate al capitolo 3.2 del D.M. 14/01/2008 "Norme tecniche per le Costruzioni".

In particolare il procedimento per la definizione degli spettri di progetto per i vari Stati Limite per cui sono state effettuate le verifiche è stato il seguente:

- definizione della Vita Nominale e della Classe d'Uso della struttura, il cui uso combinato ha portato alla definizione del Periodo di Riferimento dell'azione sismica.
- Individuazione, tramite latitudine e longitudine, dei parametri sismici di base a_g , F_0 e T_c^* per tutti e quattro gli Stati Limite previsti (SLO, SLD, SLV e SLC); l'individuazione è stata effettuata interpolando tra i 4 punti più vicini al punto di riferimento dell'edificio.
- Determinazione dei coefficienti di amplificazione stratigrafica e topografica.
- Calcolo del periodo T_c corrispondente all'inizio del tratto a velocità costante dello Spettro.

I dati così calcolati sono stati utilizzati per determinare gli Spettri di Progetto nelle verifiche agli Stati Limite considerate.

Si riportano di seguito le coordinate geografiche del sito rispetto al Datum **ED50**:

Latitudine	Longitudine	Altitudine
[°]	[°]	[m]
39.9072	8.6011	10

6.1 Verifiche di regolarità

Sia per la scelta del metodo di calcolo, sia per la valutazione del fattore di struttura adottato, deve essere effettuato il controllo della regolarità della struttura.

La tabella seguente riepiloga, per la struttura in esame, le condizioni di regolarità in pianta ed in altezza soddisfatte.

REGOLARITÀ DELLA STRUTTURA IN PIANTA	
La configurazione in pianta è compatta e approssimativamente simmetrica rispetto a due direzioni ortogonali, in relazione alla distribuzione di masse e rigidezze	NO
Il rapporto tra i lati di un rettangolo in cui la costruzione risulta inscritta è inferiore a 4	NO
Nessuna dimensione di eventuali rientri o sporgenze supera il 25 % della dimensione totale della costruzione nella corrispondente direzione	NO
Gli orizzontamenti possono essere considerati infinitamente rigidi nel loro piano rispetto agli elementi verticali e sufficientemente resistenti	SI

REGOLARITÀ DELLA STRUTTURA IN ALTEZZA	
Tutti i sistemi resistenti verticali (quali telai e pareti) si estendono per tutta l'altezza della costruzione	NO
Massa e rigidezza rimangono costanti o variano gradualmente, senza bruschi cambiamenti, dalla base alla sommità della costruzione (le variazioni di massa da un orizzontamento all'altro non superano il 25 %, la rigidezza non si riduce da un orizzontamento a quello sovrastante più del 30% e non aumenta più del 10%); ai fini della rigidezza si possono considerare regolari in altezza strutture dotate di pareti o nuclei in c.a. o pareti e nuclei in muratura di sezione costante sull'altezza o di telai controventati in acciaio, ai quali sia affidato almeno il 50% dell'azione sismica alla base	NO
Nelle strutture intelaiate progettate in CD"B" il rapporto tra resistenza effettiva e resistenza richiesta dal calcolo non è significativamente diverso per orizzontamenti diversi (il rapporto fra la resistenza effettiva e quella richiesta, calcolata ad un generico orizzontamento, non deve differire più del 20% dall'analogo rapporto determinato per un altro orizzontamento); può fare eccezione l'ultimo orizzontamento di strutture intelaiate di almeno tre orizzontamenti	NO
Eventuali restringimenti della sezione orizzontale della costruzione avvengono in modo graduale da un orizzontamento al successivo, rispettando i seguenti limiti: ad ogni orizzontamento il rientro non supera il 30% della dimensione corrispondente al primo orizzontamento, né il 20% della dimensione corrispondente all'orizzontamento immediatamente sottostante. Fa eccezione l'ultimo orizzontamento di costruzioni di almeno quattro piani per il quale non sono previste limitazioni di restringimento	NO

La rigidezza è calcolata come rapporto fra il taglio complessivamente agente al piano e δ , spostamento relativo di piano (il taglio di piano è la sommatoria delle azioni orizzontali agenti al di sopra del piano considerato).

La struttura è pertanto:

in pianta
NON REGOLARE

in altezza
NON REGOLARE

6.2 Classe di duttilità

La classe di duttilità è rappresentativa della capacità dell'edificio di dissipare energia in campo anelastico per azioni cicliche ripetute.

Le deformazioni anelastiche devono essere distribuite nel maggior numero di elementi duttili, in particolare le travi, salvaguardando in tal modo i pilastri e soprattutto i nodi travi pilastro che sono gli elementi più fragili.

Il D.M. 14/01/2008 definisce due tipi di comportamento strutturale:

- a) comportamento strutturale non-dissipativo;
- b) comportamento strutturale dissipativo.

Per strutture con comportamento strutturale dissipativo si distinguono due livelli di Capacità Dissipativa o Classi di Duttilità (CD).

- CD"A" (Alta);
- CD"B" (Bassa).

La differenza tra le due classi risiede nell'entità delle plasticizzazioni cui ci si riconduce in fase di progettazione; per ambedue le classi, onde assicurare alla struttura un comportamento dissipativo e duttile evitando rotture fragili e la formazione di meccanismi instabili impreveduti, si fa ricorso ai procedimenti tipici della gerarchia delle resistenze.

La struttura in esame è stata progettata in classe di duttilità **classe "BASSA"**.

6.3 Spettri di Progetto per S.L.U. e S.L.D.

L'edificio è stato progettato per una **Vita Nominale** pari a **50** e per **Classe d'Uso** pari a **4**.

In base alle indagini geognostiche effettuate si è classificato il **suolo** di fondazione di **categoria C**, cui corrispondono i seguenti valori per i parametri necessari alla costruzione degli spettri di risposta orizzontale e verticale:

Stato Limite	Parametri di pericolosità sismica							
	a_g [g]	F_0	T_c^* [s]	C_C	T_B [s]	T_C [s]	T_D [s]	S_S [s]
SLO	0.0254	2.685	0.299	1.56	0.156	0.468	1.702	1.50
SLD	0.0314	2.730	0.307	1.55	0.159	0.476	1.726	1.50
SLV	0.0599	2.976	0.371	1.46	0.180	0.540	1.840	1.50
SLC	0.0707	3.061	0.393	1.43	0.187	0.562	1.883	1.50

Per la definizione degli spettri di risposta, oltre all'accelerazione (a_g) al suolo (dipendente dalla classificazione sismica del Comune) occorre determinare il Fattore di Struttura (q).

Il Fattore di struttura q è un fattore riduttivo delle forze elastiche introdotto per tenere conto delle capacità dissipative della struttura che dipende dal sistema costruttivo adottato, dalla Classe di Duttilità e dalla regolarità in altezza.

Si è inoltre assunto il **Coefficiente di Amplificazione Topografica** (S_T) pari a **1,00**.

Per la struttura in esame sono stati determinati i seguenti valori:

Stato Limite di salvaguardia della Vita

Fattore di Struttura (q_x) per sisma orizzontale in direzione X: **2,760;**

Fattore di Struttura (q_y) per sisma orizzontale in direzione Y: **2,760;**

Fattore di Struttura (q_z) per sisma verticale: **1,50.**

Di seguito si esplicita il calcolo del fattore di struttura utilizzato per il sisma orizzontale:

	Dir. X	Dir. Y
Tipologia (Tab. 7.4.I D.M. 14/01/2008)	A telaio, miste equivalenti a telaio	A telaio, miste equivalenti a telaio
Tipologia strutturale	con più campate	con più campate
α_u/α_1	1,15	1,15
q_0	3,450	3,450
k_w	0,50	0,50

Il fattore di struttura è calcolato secondo la relazione (7.3.1) del par. 7.3.1 del D.M. 14/01/2008:

$$q = K_w \cdot q_0 \cdot K_R;$$

dove:

q_0 è il valore massimo del fattore di struttura che dipende dal livello di duttilità attesa, dalla tipologia strutturale e dal rapporto α_u/α_1 tra il valore dell'azione sismica per il quale si verifica la formazione di un numero di cerniere plastiche tali da rendere la struttura labile e quello per il quale il primo elemento strutturale raggiunge la plasticizzazione a flessione;

K_R è un fattore riduttivo che dipende dalle caratteristiche di regolarità in altezza della costruzione, con valore pari ad 1 per costruzioni regolari in altezza e pari a 0,8 per costruzioni non regolari in altezza;

k_w è il coefficiente che riflette la modalità di collasso prevalente in sistemi strutturali con pareti.

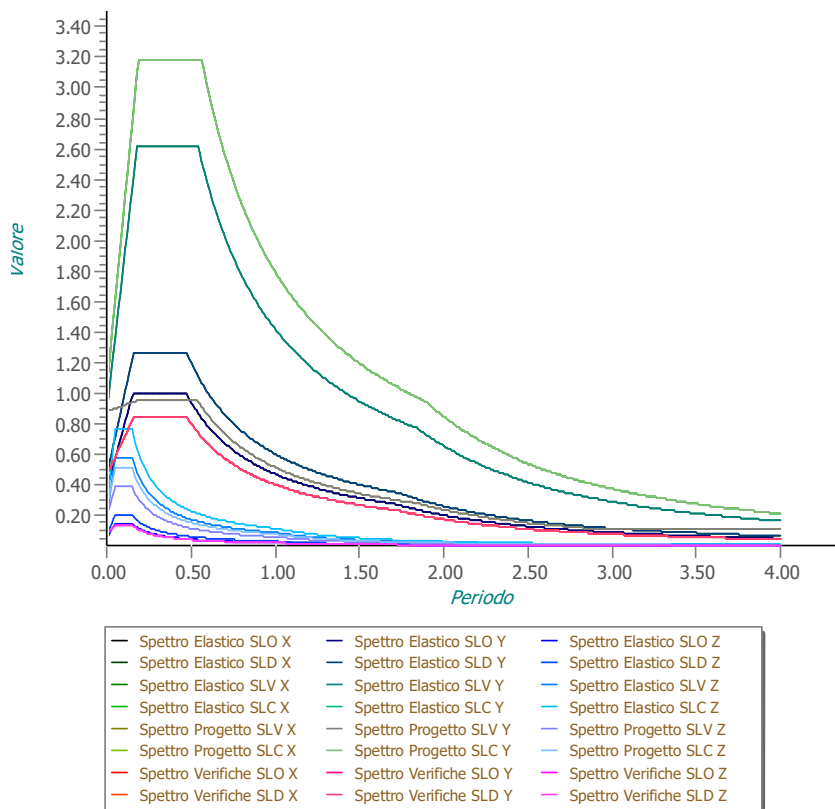
N.B: Per le costruzioni **regolari in pianta**, qualora non si proceda ad un'analisi non lineare finalizzata alla valutazione del rapporto α_u/α_1 , per esso possono essere adottati i valori indicati nei par. 7.4.3.2 del D.M. 14/01/2008 per le diverse tipologie costruttive. Per le costruzioni **non regolari in pianta**, si possono adottare valori di α_u/α_1 pari alla media tra 1,0 ed i valori di volta in volta forniti per le diverse tipologie costruttive.

Tabella 7.4.I - Valori di q₀

Tipologia	q ₀	
	CD"B"	CD"A"
Strutture a telaio, a pareti accoppiate, miste	3,0 · α _U /α ₁	4,5 · α _U /α ₁
Strutture a pareti non accoppiate	3,0	4,0 · α _U /α ₁
Strutture deformabili torsionalmente	2,0	3,0
Strutture a pendolo inverso	1,5	2,0

Gli spettri utilizzati sono riportati nella successiva figura.

Grafico degli Spettri di Risposta



6.4 Metodo di Analisi

Il calcolo delle azioni sismiche è stato eseguito in analisi dinamica modale, considerando il comportamento della struttura in regime elastico lineare.

Il numero di **modi di vibrazione** considerato (**15**) ha consentito, nelle varie condizioni, di mobilitare le seguenti percentuali delle masse della struttura:

Stato Limite	Direzione Sisma	%
salvaguardia della vita	X	99.9
salvaguardia della vita	Y	99.9
salvaguardia della vita	Z	100.0

Per valutare la risposta massima complessiva di una generica caratteristica E, conseguente alla sovrapposizione dei modi, si è utilizzata una tecnica di combinazione probabilistica definita CQC (*Complete Quadratic Combination - Combinazione Quadratica Completa*):

$$E = \sqrt{\sum_{i,j=1,n} \rho_{ij} \cdot E_i \cdot E_j} \quad \text{con} \quad \rho_{ij} = \frac{8 \cdot \xi^2 \cdot (1 + \beta_{ij}) \cdot \beta_{ij}^3}{(1 - \beta_{ij}^2)^2 + 4 \cdot \xi^2 \cdot \beta_{ij} \cdot (1 + \beta_{ij}^2)} \quad \beta_{ij} = \frac{\omega_i}{\omega_j}$$

dove:

- n è il numero di modi di vibrazione considerati;
- ξ è il coefficiente di smorzamento viscoso equivalente espresso in percentuale;
- β_{ij} è il rapporto tra le frequenze di ciascuna coppia i-j di modi di vibrazione.

Le sollecitazioni derivanti da tali azioni sono state composte poi con quelle derivanti da carichi verticali, orizzontali non sismici secondo le varie combinazioni di carico probabilistiche. Il calcolo è stato effettuato

mediante un programma agli elementi finiti le cui caratteristiche verranno descritte nel seguito.

Il calcolo degli effetti dell'azione sismica è stato eseguito con riferimento alla struttura spaziale, tenendo cioè conto degli elementi interagenti fra loro secondo l'effettiva realizzazione escludendo i tamponamenti. Non ci sono approssimazioni su tetti inclinati, piani sfalsati o scale, solette, pareti irrigidenti e nuclei.

Si è tenuto conto delle deformabilità taglianti e flessionali degli elementi monodimensionali; muri, pareti, setti, solette sono stati correttamente schematizzati tramite elementi finiti a tre/quattro nodi con comportamento a guscio (sia a piastra che a lastra).

Sono stati considerati sei gradi di libertà per nodo; in ogni nodo della struttura sono state applicate le forze sismiche derivanti dalle masse circostanti.

Le sollecitazioni derivanti da tali forze sono state poi combinate con quelle derivanti dagli altri carichi come prima specificato.

6.5 Valutazione degli spostamenti

Gli spostamenti d_E della struttura sotto l'azione sismica di progetto allo SLV sono stati ottenuti moltiplicando per il fattore μ_d i valori d_{Ee} ottenuti dall'analisi lineare, dinamica o statica, secondo l'espressione seguente:

$$d_E = \pm \mu_d \cdot d_{Ee}$$

dove

$$\begin{aligned} \mu_d &= q && \text{se } T_1 \geq T_C; \\ \mu_d &= 1 + (q-1) \cdot T_C / T_1 && \text{se } T_1 < T_C. \end{aligned}$$

In ogni caso $\mu_d \leq 5q - 4$.

6.6 Combinazione delle componenti dell'azione sismica

Le azioni orizzontali dovute al sisma sulla struttura vengono convenzionalmente determinate come agenti separatamente in due direzioni tra loro ortogonali prefissate. In generale, però, le componenti orizzontali del sisma devono essere considerate come agenti simultaneamente. A tale scopo, la combinazione delle componenti orizzontali dell'azione sismica è stata tenuta in conto come segue:

.gli effetti delle azioni dovuti alla combinazione delle componenti orizzontali dell'azione sismica sono stati valutati mediante le seguenti combinazioni:

$$E_{EdX} \pm 0,30E_{EdY} \qquad E_{EdY} \pm 0,30E_{EdX}$$

dove:

E_{EdX} rappresenta gli effetti dell'azione dovuti all'applicazione dell'azione sismica lungo l'asse orizzontale X scelto della struttura;

E_{EdY} rappresenta gli effetti dell'azione dovuti all'applicazione dell'azione sismica lungo l'asse orizzontale Y scelto della struttura.

L'azione sismica verticale deve essere considerata in presenza di: elementi pressoché orizzontali con luce superiore a 20 m, elementi pressoché orizzontali precompressi, elementi a sbalzo pressoché orizzontali con luce maggiore di 5 m, travi che sostengono colonne, strutture isolate.

La combinazione della componente verticale del sisma, qualora portata in conto, con quelle orizzontali è stata tenuta in conto come segue:

.gli effetti delle azioni dovuti alla combinazione delle componenti orizzontali e verticali del sisma sono stati valutati mediante le seguenti combinazioni:

$$E_{EdX} \pm 0,30E_{EdY} \pm 0,30E_{EdZ} \qquad E_{EdY} \pm 0,30E_{EdX} \pm 0,30E_{EdZ} \qquad E_{EdZ} \pm 0,30E_{EdX} \pm 0,30E_{EdY}$$

dove:

E_{EdX} e E_{EdY} sono gli effetti dell'azione sismica nelle direzioni orizzontali prima definite;

E_{EdZ} rappresenta gli effetti dell'azione dovuti all'applicazione della componente verticale dell'azione sismica di progetto.

6.7 Eccentricità accidentali

Per valutare le eccentricità accidentali, previste in aggiunta all'eccentricità effettiva sono state considerate condizioni di carico aggiuntive ottenute applicando l'azione sismica nelle posizioni del centro di massa di ogni piano ottenute traslando gli stessi, in ogni direzione considerata, di una distanza pari a +/- 5% della dimensione massima del piano in direzione perpendicolare all'azione sismica.

7 - AZIONI SULLA STRUTTURA

I calcoli e le verifiche sono condotti con il metodo semiprobabilistico degli stati limite secondo le indicazioni del D.M. 14/01/2008. I carichi agenti sui solai, derivanti dall'analisi dei carichi, vengono ripartiti dal programma di calcolo in modo automatico sulle membrature (travi, pilastri, pareti, solette, platee, ecc.).

I carichi dovuti ai tamponamenti, sia sulle travi di fondazione che su quelle di piano, sono schematizzati come carichi lineari agenti esclusivamente sulle aste.

Su tutti gli elementi strutturali è inoltre possibile applicare direttamente ulteriori azioni concentrate e/o distribuite (variabili con legge lineare ed agenti lungo tutta l'asta o su tratti limitati di essa).

Le azioni introdotte direttamente sono combinate con le altre (carichi permanenti, accidentali e sisma) mediante le combinazioni di carico di seguito descritte; da esse si ottengono i valori probabilistici da impiegare successivamente nelle verifiche.

7.1 Stato Limite di Salvaguardia della Vita

Le azioni sulla costruzione sono state cumulate in modo da determinare condizioni di carico tali da risultare più sfavorevoli ai fini delle singole verifiche, tenendo conto della probabilità ridotta di intervento simultaneo di tutte le azioni con i rispettivi valori più sfavorevoli, come consentito dalle norme vigenti.

Per gli stati limite ultimi sono state adottate le combinazioni del tipo:

$$\gamma_{G1} G_1 + \gamma_{G2} G_2 + \gamma_p P + \gamma_{Q1} Q_{k1} + \gamma_{Q2} \psi_{02} Q_{k2} + \gamma_{Q3} \psi_{03} Q_{k3} + \dots \quad (1)$$

dove:

- G_1 rappresenta il peso proprio di tutti gli elementi strutturali; peso proprio del terreno, quando pertinente; forze indotte dal terreno (esclusi gli effetti di carichi variabili applicati al terreno); forze risultanti dalla pressione dell'acqua (quando si configurino costanti nel tempo);
- G_2 rappresenta il peso proprio di tutti gli elementi non strutturali;
- P rappresenta l'azione di pretensione e/o precompressione;
- Q azioni sulla struttura o sull'elemento strutturale con valori istantanei che possono risultare sensibilmente diversi fra loro nel tempo:
- di lunga durata: agiscono con un'intensità significativa, anche non continuativamente, per un tempo non trascurabile rispetto alla vita nominale della struttura;
 - di breve durata: azioni che agiscono per un periodo di tempo breve rispetto alla vita nominale della struttura;
- Q_{ki} rappresenta il valore caratteristico della i-esima azione variabile;
- γ_{gr} γ_{qr} γ_p coefficienti parziali come definiti nella Tab. 2.6.I del D.M. 14/01/2008;
- ψ_{0i} sono i coefficienti di combinazione per tenere conto della ridotta probabilità di concomitanza delle azioni variabili con i rispettivi valori caratteristici.

Le **132 combinazioni** risultanti sono state costruite a partire dalle sollecitazioni caratteristiche calcolate per ogni condizione di carico elementare: ciascuna condizione di carico accidentale, a rotazione, è stata considerata sollecitazione di base (Q_{k1} nella formula precedente).

In zona sismica, oltre alle sollecitazioni derivanti dalle generiche condizioni di carico statiche, devono essere considerate anche le sollecitazioni derivanti dal sisma. L'azione sismica è stata combinata con le altre azioni secondo la seguente relazione:

$$G_1 + G_2 + P + E + \sum_i \psi_{2i} Q_{ki}$$

dove:

- E rappresenta l'azione sismica per lo stato limite in esame;
- G_1 rappresenta peso proprio di tutti gli elementi strutturali;
- G_2 rappresenta il peso proprio di tutti gli elementi non strutturali;
- P rappresenta l'azione di pretensione e/o precompressione;
- ψ_{2i} coefficiente di combinazione delle azioni variabili Q_i ;
- Q_{ki} valore caratteristico dell'azione variabile Q_i .

Gli effetti dell'azione sismica sono valutati tenendo conto delle masse associate ai seguenti carichi gravitazionali:

$$G_k + \sum_i (\psi_{2i} \cdot Q_{ki})$$

I valori dei coefficienti ψ_{2i} sono riportati nella seguente tabella:

Categoria/Azione	ψ_{2i}
Categoria A - Ambienti ad uso residenziale	0,3
Categoria B - Uffici	0,3
Categoria C - Ambienti suscettibili di affollamento	0,6
Categoria D - Ambienti ad uso commerciale	0,6
Categoria E - Biblioteche, archivi, magazzini e ambienti ad uso industriale	0,8
Categoria F - Rimesse e parcheggi (per autoveicoli di peso ≤ 30 kN)	0,6
Categoria G - Rimesse e parcheggi (per autoveicoli di peso > 30 kN)	0,3
Categoria H - Coperture	0,0
Vento	0,0
Neve (a quota ≤ 1000 m s.l.m.)	0,0
Neve (a quota > 1000 m s.l.m.)	0,2
Variazioni termiche	0,0

Le verifiche strutturali e geotecniche delle fondazioni, sono state effettuate con l'**Approccio 2** come definito al par. 2.6.1 del D.M. 14/01/2008, attraverso la combinazione **A1+M1+R3**. Le azioni sono state amplificate tramite i coefficienti della colonna A1 (STR) definiti nella Tab. 6.2.I del D.M. 14/01/2008.

I valori di resistenza del terreno sono stati ridotti tramite i coefficienti della colonna M1 definiti nella Tab. 6.2.II del D.M. 14/01/2008.

I valori calcolati delle resistenze totali dell'elemento strutturale sono stati divisi per i coefficienti R3 della Tab. 6.4.I del D.M. 14/01/2008 per le fondazioni superficiali.

Si è quindi provveduto a progettare le armature di ogni elemento strutturale per ciascuno dei valori ottenuti secondo le modalità precedentemente illustrate.

7.2 Stato Limite di Danno

L'azione sismica, ottenuta dallo spettro di progetto per lo Stato Limite di Danno, è stata combinata con le altre azioni mediante una relazione del tutto analoga alla precedente:

$$G_1 + G_2 + P + E + \sum_i \psi_{2i} \cdot Q_{ki}$$

dove:

- E rappresenta l'azione sismica per lo stato limite in esame;
- G_1 rappresenta peso proprio di tutti gli elementi strutturali;
- G_2 rappresenta il peso proprio di tutti gli elementi non strutturali;
- P rappresenta l'azione di pretensione e/o precompressione;
- ψ_{2i} coefficiente di combinazione delle azioni variabili Q_i ;
- Q_{ki} valore caratteristico dell'azione variabile Q_i .

Gli effetti dell'azione sismica sono valutati tenendo conto delle masse associate ai seguenti carichi gravitazionali:

$$G_k + \sum_i (\psi_{2i} \cdot Q_{ki})$$

I valori dei coefficienti ψ_{2i} sono riportati nella tabella di cui allo SLV.

7.3 Stati Limite di Esercizio

Allo Stato Limite di Esercizio le sollecitazioni con cui sono state semiprogettate le aste in c.a. sono state ricavate applicando le formule riportate nel D.M. 14/01/2008 al par. 2.5.3. Per le verifiche agli stati limite di esercizio, a seconda dei casi, si fa riferimento alle seguenti combinazioni di carico:

rara	frequente	quasi permanente
$\sum_{j \geq 1} G_{kj} + P + Q_{k1} + \sum_{i > 1} \psi_{0i} \cdot Q_{ki}$	$\sum_{j \geq 1} G_{kj} + P + \psi_{11} \cdot Q_{k1} + \sum_{i > 1} \psi_{2i} \cdot Q_{ki}$	$\sum_{j \geq 1} G_{kj} + P + \sum_{i > 1} \psi_{2i} \cdot Q_{ki}$

dove:

- G_{kj} : valore caratteristico della j-esima azione permanente;
- P_{kh} : valore caratteristico della h-esima deformazione impressa;
- Q_{ki} : valore caratteristico dell'azione variabile di base di ogni combinazione;

- Q_{ki} : valore caratteristico della i-esima azione variabile;
 ψ_{0i} : coefficiente atto a definire i valori delle azioni ammissibili di durata breve ma ancora significativi nei riguardi della possibile concomitanza con altre azioni variabili;
 ψ_{1i} : coefficiente atto a definire i valori delle azioni ammissibili ai frattili di ordine 0,95 delle distribuzioni dei valori istantanei;
 ψ_{2i} : coefficiente atto a definire i valori quasi permanenti delle azioni ammissibili ai valori medi delle distribuzioni dei valori istantanei.

Ai coefficienti ψ_{0i} , ψ_{1i} , ψ_{2i} sono attribuiti i seguenti valori:

Azione	ψ_{0i}	ψ_{1i}	ψ_{2i}
Categoria A – Ambienti ad uso residenziale	0,7	0,5	0,3
Categoria B – Uffici	0,7	0,5	0,3
Categoria C – Ambienti suscettibili di affollamento	0,7	0,7	0,6
Categoria D – Ambienti ad uso commerciale	0,7	0,7	0,6
Categoria E – Biblioteche, archivi, magazzini e ambienti ad uso industriale	1,0	0,9	0,8
Categoria F – Rimesse e parcheggi (per autoveicoli di peso ≤ 30 kN)	0,7	0,7	0,6
Categoria G – Rimesse e parcheggi (per autoveicoli di peso > 30 kN)	0,7	0,5	0,3
Categoria H – Coperture	0,0	0,0	0,0
Vento	0,6	0,2	0,0
Neve (a quota ≤ 1000 m s.l.m.)	0,5	0,2	0,0
Neve (a quota > 1000 m s.l.m.)	0,7	0,5	0,2
Variazioni termiche	0,6	0,5	0,0

In maniera analoga a quanto illustrato nel caso dello SLU le combinazioni risultanti sono state costruite a partire dalle sollecitazioni caratteristiche calcolate per ogni condizione di carico; a turno ogni condizione di carico accidentale è stata considerata sollecitazione di base [Q_{k1} nella formula (1)], con ciò dando origine a tanti valori combinati. Per ognuna delle combinazioni ottenute, in funzione dell'elemento (trave, pilastro, etc...) sono state effettuate le verifiche allo SLE (tensioni, deformazioni e fessurazione).

7.4 Azione del Vento

L'applicazione dell'azione del vento sulla struttura si articola in due fasi:

1. calcolo della pressione Normale e Tangenziale lungo l'altezza dell'edificio;
2. trasformazione delle pressioni in forze (lineari/concentrate) sugli elementi (strutturali/non strutturali) dell'edificio.

7.4.1 Calcolo pressione normale e tangenziale

• Pressione Normale

La pressione Normale del vento è data dall'espressione:

$$p = q_b \cdot c_e \cdot c_p \cdot c_d \quad (\text{relazione 3.3.2 - D.M. 14/01/2008});$$

dove

$-q_b$: la pressione cinetica di riferimento data dall'espressione:

$$q_b = \frac{1}{2} \cdot \rho \cdot v_b^2(T_R) \quad (\text{relazione 3.3.4 - D.M. 14/01/2008});$$

con:

ρ : densità dell'aria (assunta pari a $1,25$ kg/m³);

$v_b(T_R)$: velocità di riferimento del vento (in m/s), data da:

$$v_b(T_R) = \alpha_R \cdot v_{br} \quad \text{con:}$$

α_R : coefficiente dato dalla seguente relazione:

$$\alpha_R = 0,75 \cdot \sqrt{1 - 0,2 \cdot \ln \left[-\ln \left(1 - \frac{1}{T_R} \right) \right]} \quad (\text{relazione C3.3.2 - Circolare 02-02-2009 n. 617});$$

v_{br} : velocità di riferimento del vento associata ad un periodo di ritorno di 50 anni, data da:

$$v_b = v_{b,0} \quad \text{per } a_s \leq a_0;$$

$$v_b = v_{b,0} + k_a \cdot (a_s - a_0) \quad \text{per } a_0 < a_s \leq 1500 \text{ m};$$

dove:

$v_{b,0}$, a_0 , k_a : parametri forniti dalla Tab. 3.3.I del par. 3.3.2 D.M. 14/01/2008;

a_s : altitudine sul livello del mare (m.s.l.m) del sito ove sorge la costruzione;

T_R : periodo di ritorno espresso in anni [10 anni; 500 anni].

- C_e : coefficiente di esposizione, che per altezza sul suolo (z) non maggiori di 200 m è dato dalla formula:

$$c_e(z) = k_r^2 \cdot c_t \cdot \ln(z/z_0) \cdot [7 + c_t \cdot \ln(z/z_0)] \quad \text{per } z \geq z_{\min} \quad (\text{relazione 3.3.5 - D.M. 14/01/2008});$$

$$c_e(z) = c_e(z_{\min}) \quad \text{per } z < z_{\min}$$

dove:

k_r , z_0 , z_{\min} : parametri forniti dalla Tab. 3.3.II del par. 3.3.7 D.M. 14/01/2008 (*funzione della categoria di esposizione del sito e della classe di rugosità del terreno*);

c_t : coefficiente di topografia (assunto pari ad 1).

- c_p : coefficiente di forma (o coefficiente aerodinamico), funzione della tipologia e della geometria della costruzione e del suo orientamento rispetto alla direzione del vento.

- c_d : coefficiente dinamico (assunto pari ad 1; par. 3.3.8 - D.M. 14/01/2008).

• Pressione Tangenziale

L'azione tangente per unità di superficie parallela alla direzione del vento è data dall'espressione

$$p_f = q_b \cdot c_e \cdot c_f \quad (\text{relazione 3.3.3 - D.M. 14/01/2008});$$

dove

- q_b , c_e : definiti in precedenza;

- c_f : coefficiente d'attrito, funzione della scabrezza della superficie sulla quale il vento esercita l'azione tangente funzione (valori presi dalla Tab. C3.3.1 della Circolare 02-02-2009 n. 617).

Per il caso in esame:

Vento - calcolo pressione cinetica di riferimento								
a_s	Zona	$V_{b,0}$	a_0	k_a	V_b	T_R	α_R	q_b
[m]		[m/s]	[m]	[1/s]	[m/s]	[anni]		[N/m ²]
10	6	28	500	0,020	28,00	50	1,00	490

LEGENDA:

a_s Altitudine sul livello del mare (m.s.l.m) del sito ove sorge la costruzione;

Zona Zona di riferimento per il calcolo del vento;

$V_{b,0}$, a_0 , Parametri forniti dalla Tab. 3.3.I - § 3.3.2 D.M. 14 gennaio 2008;

k_a

V_b Velocità di riferimento del vento associata ad un periodo di ritorno di 50 anni;

T_R Periodo di ritorno;

α_R Coefficiente per il calcolo della pressione cinetica di riferimento;

q_b Pressione cinetica di riferimento.

Vento - calcolo coefficiente di esposizione								
Z	d_{ct}	CIRg	Cat exp	k_r	Z_G	Z_{\min}	C_t	C_e
[m]	[km]				[m]	[m]		
0,00	sulla costa, entro 10 Km	B	II	0,19	0,05	4,00	1,00	1,80
2,95								1,80
4,45								1,86

LEGENDA:

Z Altezza dell'edificio a cui viene calcolata la pressione del vento;

d_{ct} Distanza dalla costa;

CIRg Classe di rugosità del terreno (A, B, C, D);

Cat exp Categoria di esposizione del sito (I, II, III, IV, V);

k_r , Z_0 , Z_{\min} Parametri forniti dalla Tab. 3.3.II - § 3.3.7 D.M. 14 gennaio 2008;

C_t Coefficiente di topografia;

C_e Coefficiente di esposizione;

Vento - calcolo pressione del vento								
Z	q _b	C _e	C _p	C _d	p	Scz	C _f	P _f
[m]	[N/m ²]				[N/m ²]			[N/m ²]
0,00	490	1,80	1,00	1,00	882	-	-	-
2,95		1,80			882			-
4,45		1,86			912			-

LEGENDA:

- Z** Altezza dell'edificio a cui viene calcolata la pressione del vento;
- q_b** Pressione cinetica di riferimento.
- C_e** Coefficiente di esposizione;
- C_p** Coefficiente di forma/aerodinamico.
(*) Valorizzato al momento del calcolo della pressione agente sul singolo elemento strutturale ed è funzione della posizione dello stesso (sopravento/sottovento);
- C_d** Coefficiente dinamico;
- p** Pressione normale (senza il contributo di C_p);
- Scz** Scabrezza della superficie (liscia, scabra, molto scabra);
- C_f** Coefficiente d'attrito;
- P_f** Pressione tangenziale (senza il contributo di C_p).

7.4.2 Applicazione delle forze sulla struttura

Per ogni superficie esposta all'azione del vento si individua la posizione del baricentro e in corrispondenza di esso, dal diagramma delle pressioni dell'edificio, si ricava la pressione per unità di superficie.

Per gli elementi **strutturali** la pressione è trasformata in:

- forze lineari per i beam (*pilastrì e travi*);
- forze nodali per le shell (*pareti, muri e solette*).

Per gli elementi **non strutturali** (*tamponature, solai e balconi*) la forza totale (pressione nel baricentro x superficie) viene divisa per il perimetro in modo da ottenere una forza per unità di lunghezza che viene applicata sugli elementi strutturali confinanti.

8 - CODICE DI CALCOLO IMPIEGATO

8.1 Denominazione

Nome del Software	EdiLus
Versione	40.00d
Caratteristiche del Software	Software per il calcolo di strutture agli elementi finiti per Windows
Numero di serie	85050850
Intestatario Licenza	CAST&LLO ENGINEERING Studio Associato
Produzione e Distribuzione	ACCA software S.p.A. Contrada Rosole 13 83043 BAGNOLI IRPINO (AV) - Italy Tel. 0827/69504 r.a. - Fax 0827/601235 e-mail: info@acca.it - Internet: www.acca.it

8.2 Sintesi delle funzionalità generali

Il pacchetto consente di modellare la struttura, di effettuare il dimensionamento e le verifiche di tutti gli elementi strutturali e di generare gli elaborati grafici esecutivi.

È una procedura integrata dotata di tutte le funzionalità necessarie per consentire il calcolo completo di una struttura mediante il metodo degli elementi finiti (FEM); la modellazione della struttura è realizzata tramite elementi Beam (travi e pilastrì) e Shell (platee, pareti, solette, setti, travi-parete).

L'input della struttura avviene per oggetti (travi, pilastrì, solai, solette, pareti, etc.) in un ambiente grafico integrato; il modello di calcolo agli elementi finiti, che può essere visualizzato in qualsiasi momento in una apposita finestra, viene generato dinamicamente dal software.

Apposite funzioni consentono la creazione e la manutenzione di archivi Sezioni, Materiali e Carichi; tali archivi

sono generali, nel senso che sono creati una tantum e sono pronti per ogni calcolo, potendoli comunque integrare/modificare in ogni momento.

L'utente non può modificare il codice ma soltanto eseguire delle scelte come:

- definire i vincoli di estremità per ciascuna asta (vincoli interni) e gli eventuali vincoli nei nodi (vincoli esterni);
- modificare i parametri necessari alla definizione dell'azione sismica;
- definire condizioni di carico;
- definire gli impalcati come rigidi o meno.

Il programma è dotato di un manuale tecnico ed operativo. L'assistenza è effettuata direttamente dalla casa produttrice, mediante linea telefonica o e-mail.

Il calcolo si basa sul solutore agli elementi finiti MICROSAP prodotto dalla società TESYS srl. La scelta di tale codice è motivata dall'elevata affidabilità dimostrata e dall'ampia documentazione a disposizione, dalla quale risulta la sostanziale uniformità dei risultati ottenuti su strutture standard con i risultati internazionalmente accettati ed utilizzati come riferimento.

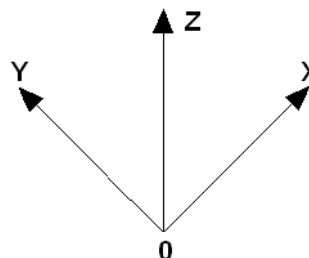
Tutti i risultati del calcolo sono forniti, oltre che in formato numerico, anche in formato grafico permettendo così di evidenziare agevolmente eventuali incongruenze.

Il programma consente la stampa di tutti i dati di input, dei dati del modello strutturale utilizzato, dei risultati del calcolo e delle verifiche dei diagrammi delle sollecitazioni e delle deformate.

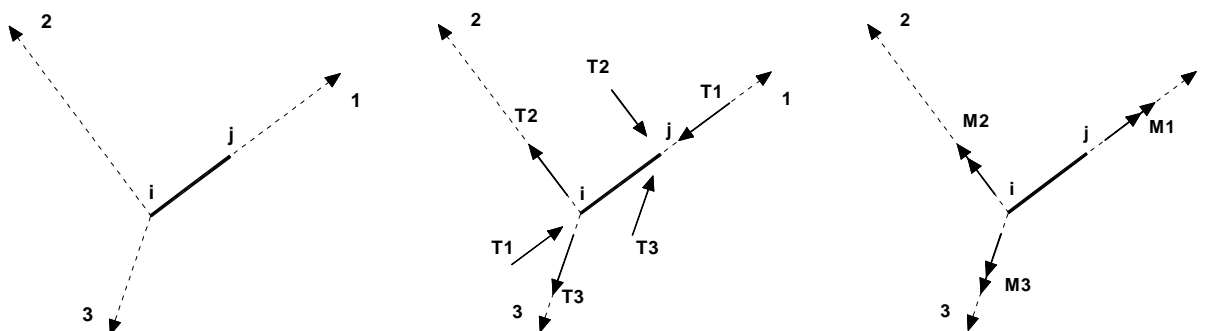
8.3 Sistemi di Riferimento

8.3.1 Riferimento globale

Il sistema di riferimento globale, rispetto al quale va riferita l'intera struttura, è costituito da una terna di assi cartesiani sinistrorsa O, X, Y, Z (X, Y, e Z sono disposti e orientati rispettivamente secondo il pollice, l'indice ed il medio della mano destra, una volta posizionati questi ultimi a 90° tra loro).



8.3.2 Riferimento locale per travi



L'elemento Trave è un classico elemento strutturale in grado di ricevere Carichi distribuiti e Carichi Nodali applicati ai due nodi di estremità; per effetto di tali carichi nascono, negli estremi, sollecitazioni di taglio, sforzo normale, momenti flettenti e torcenti.

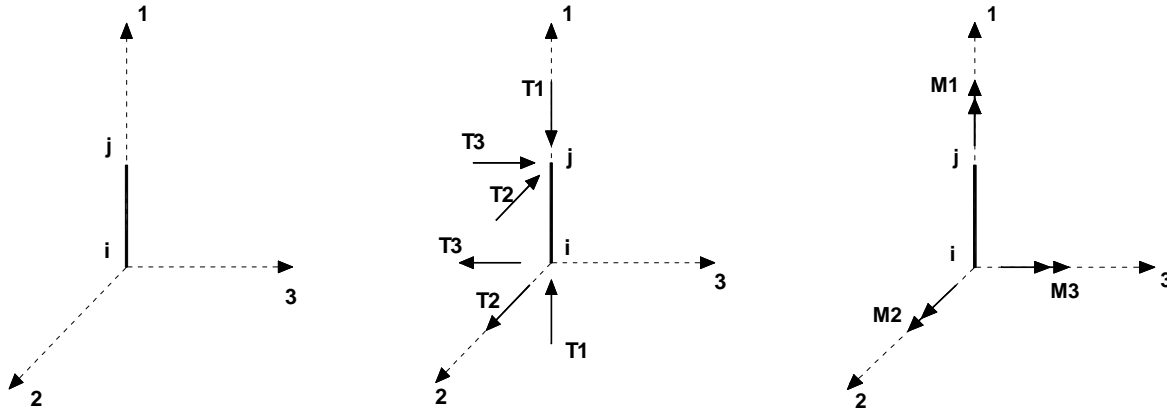
Definiti i e j (nodi iniziale e finale della Trave) viene individuato un sistema di assi cartesiani 1-2-3 locale all'elemento, con origine nel Nodo i così composto:

- asse 1 orientato dal nodo i al nodo j;
- assi 2 e 3 appartenenti alla sezione dell'elemento e coincidenti con gli assi principali d'inerzia della sezione stessa.

Le sollecitazioni verranno fornite in riferimento a tale sistema di riferimento:

1. Sollecitazione di Trazione o Compressione T_1 (agente nella direzione i-j);
2. Sollecitazioni taglianti T_2 e T_3 , agenti nei due piani 1-2 e 1-3, rispettivamente secondo l'asse 2 e l'asse 3;
3. Sollecitazioni che inducono flessione nei piani 1-3 e 1-2 (M_2 e M_3);
4. Sollecitazione torcente M_1 .

8.3.3 Riferimento locale per pilastri



Definiti i e j come i due nodi iniziale e finale del pilastro, viene individuato un sistema di assi cartesiani 1-2-3 locale all'elemento, con origine nel Nodo i così composto:

- asse 1 orientato dal nodo i al nodo j;
- asse 2 perpendicolare all' asse 1, parallelo e discorde all'asse globale Y;
- asse 3 che completa la terna destrorsa, parallelo e concorde all'asse globale X.

Tale sistema di riferimento è valido per Pilastri con angolo di rotazione pari a '0' gradi; una rotazione del pilastro nel piano XY ha l'effetto di ruotare anche tale sistema (ad es. una rotazione di '90' gradi porterebbe l'asse 2 a essere parallelo e concorde all'asse X, mentre l'asse 3 sarebbe parallelo e concorde all'asse globale Y). La rotazione non ha alcun effetto sull'asse 1 che coinciderà sempre e comunque con l'asse globale Z.

Per quanto riguarda le sollecitazioni si ha:

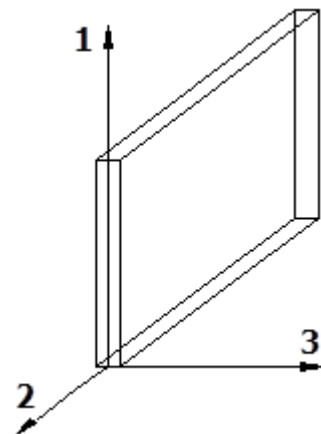
- una forza di trazione o compressione T_1 , agente lungo l'asse locale 1;
- due forze taglianti T_2 e T_3 agenti lungo i due assi locali 2 e 3;
- due vettori momento (flettente) M_2 e M_3 agenti lungo i due assi locali 2 e 3;
- un vettore momento (torcente) M_1 agente lungo l'asse locale nel piano 1.

8.3.4 Riferimento locale per pareti

Una parete è costituita da una sequenza di setti; ciascun setto è caratterizzato da un sistema di riferimento locale 1-2-3 così individuato:

- asse 1, coincidente con l'asse globale Z;
- asse 2, parallelo e discorde alla linea d'asse della traccia del setto in pianta;
- asse 3, ortogonale al piano della parete, che completa la terna levogira.

Su ciascun setto l'utente ha la possibilità di applicare uno o più carichi uniformemente distribuiti comunque orientati nello spazio; le componenti di tali carichi possono essere fornite, a discrezione dell'utente, rispetto al riferimento globale X,Y,Z oppure rispetto al riferimento locale 1,2,3 appena definito.



Si rende necessario, a questo punto, meglio precisare le modalità con cui EdiLus restituisce i risultati di calcolo.

Nel modello di calcolo agli elementi finiti ciascun setto è discretizzato in una serie di elementi tipo "shell" interconnessi; il solutore agli elementi finiti integrato nel programma EdiLus, definisce un riferimento locale per ciascun elemento shell e restituisce i valori delle tensioni esclusivamente rispetto a tali riferimenti.

Il software EdiLus provvede ad omogeneizzare tutti i valori riferendoli alla terna 1-2-3. Tale operazione consente, in fase di input, di ridurre al minimo gli errori dovuti alla complessità d'immissione dei dati stessi ed allo stesso tempo di restituire all'utente dei risultati facilmente interpretabili.

Tutti i dati cioè, sia in fase di input che in fase di output, sono organizzati secondo un criterio razionale vicino al modo di operare del tecnico e svincolato dal procedimento seguito dall'elaboratore elettronico.

In tal modo ad esempio, il significato dei valori delle tensioni può essere compreso con immediatezza non solo dal progettista che ha operato con il programma ma anche da un tecnico terzo non coinvolto nell'elaborazione; entrambi, così, potranno controllare con facilità dal tabulato di calcolo, la congruità dei valori riportati.

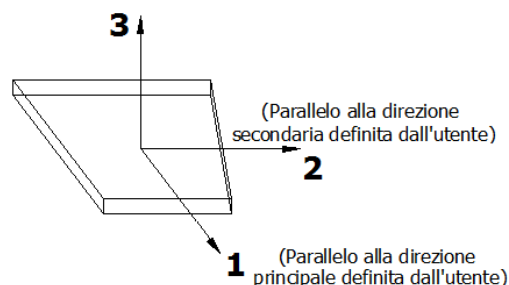
Un'ultima notazione deve essere riservata alla modalità con cui il programma fornisce le armature delle pareti, con riferimento alla faccia anteriore e posteriore.

La faccia anteriore è quella di normale uscente concorde all'asse 3 come prima definito o, identicamente, quella posta alla destra dell'osservatore che percorresse il bordo superiore della parete concordemente al verso di tracciamento.

8.3.5 Riferimento locale per solette e platee

Ciascuna soletta e platea è caratterizzata da un sistema di riferimento locale 1,2,3 così definito:

- asse 1, coincidente con la direzione principale di armatura;
- asse 2, coincidente con la direzione secondaria di armatura;
- asse 3, ortogonale al piano della parete, che completa la terna levogira.



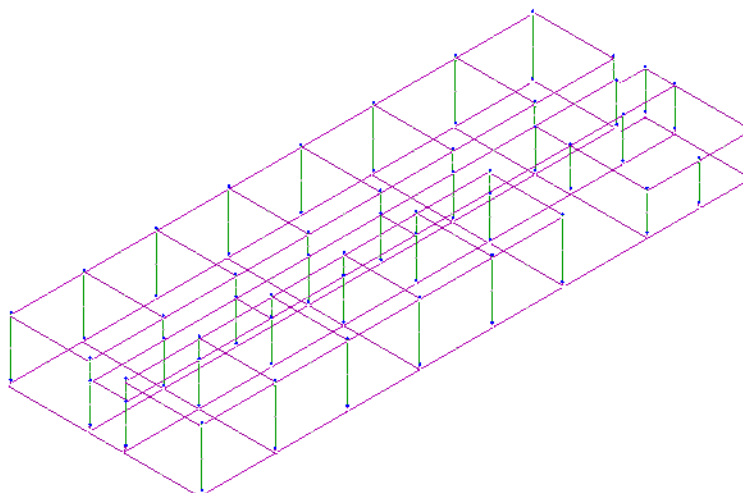
8.4 Modello di Calcolo

Il modello della struttura viene creato automaticamente dal codice di calcolo, individuando i vari elementi strutturali e fornendo le loro caratteristiche geometriche e meccaniche.

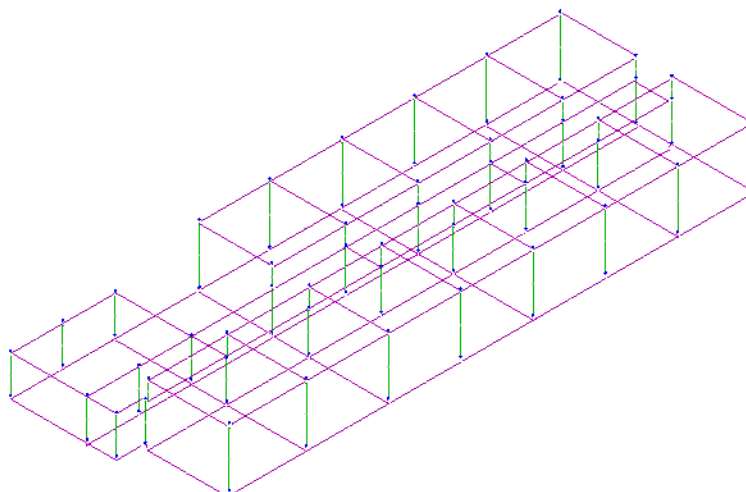
Viene definita un'opportuna numerazione degli elementi (nodi, aste, shell) costituenti il modello, al fine di individuare celermente ed univocamente ciascun elemento.

Qui di seguito è fornita una rappresentazione grafica dettagliata della discretizzazione operata con evidenziazione dei nodi e degli elementi.

Vista Anteriore



Vista Posteriore



Dalle illustrazioni precedenti si evince come le aste, sia travi che pilastri, siano schematizzate con un tratto flessibile centrale e da due tratti (braccetti) rigidi alle estremità. I nodi vengono posizionati sull'asse verticale dei pilastri, in corrispondenza dell'estradosso della trave più alta che in esso si collega. Tramite i braccetti i tratti flessibili sono quindi collegati ad esso.

In questa maniera il nodo risulta perfettamente aderente alla realtà poiché vengono presi in conto tutti gli eventuali disassamenti degli elementi con gli effetti che si possono determinare, quali momenti flettenti/torcenti aggiuntivi.

Le sollecitazioni vengono determinate, com'è corretto, solo per il tratto flessibile. Sui tratti rigidi, infatti, essendo (teoricamente) nulle le deformazioni le sollecitazioni risultano indeterminate.

Questa schematizzazione dei nodi viene automaticamente realizzata dal programma anche quando il nodo sia determinato dall'incontro di più travi senza il pilastro, o all'attacco di travi/pilastri con elementi shell.

9 PROGETTO E VERIFICA DEGLI ELEMENTI STRUTTURALI

La verifica degli elementi allo SLU avviene col seguente procedimento:

- si costruiscono le combinazioni non sismiche in base al D.M. 14/01/2008, ottenendo un insieme di sollecitazioni;
- si combinano tali sollecitazioni con quelle dovute all'azione del sisma secondo quanto indicato nel par. 2.5.3, relazione (2.5.5) del D.M. 14/01/2008;
- per sollecitazioni semplici (flessione retta, taglio, etc.) si individuano i valori minimo e massimo con cui progettare o verificare l'elemento considerato; per sollecitazioni composte (pressoflessione retta/deviata) vengono eseguite le verifiche per tutte le possibili combinazioni e solo a seguito di ciò si individua quella che ha originato il minimo coefficiente di sicurezza.

9.1 Verifiche di Resistenza

9.1.1 Elementi in C.A.

Illustriamo, in dettaglio, il procedimento seguito in presenza di pressoflessione deviata (pilastri e trave di sezione generica):

- per tutte le terne M_x , M_y , N , individuate secondo la modalità precedentemente illustrata, si calcola il coefficiente di sicurezza in base alla formula 4.1.10 del D.M. 14/01/2008, effettuando due verifiche a pressoflessione retta con la seguente formula:

$$\left(\frac{M_{Ex}}{M_{Rx}} \right)^\alpha + \left(\frac{M_{Ey}}{M_{Ry}} \right)^\alpha \leq 1$$

dove:

M_{Ex} , M_{Ey} sono i valori di calcolo delle due componenti di flessione retta dell'azione attorno agli assi di flessione X ed Y del sistema di riferimento locale;

M_{Rx} , M_{Ry} sono i valori di calcolo dei momenti resistenti di pressoflessione retta corrispondenti allo sforzo assiale N_{Ed} valutati separatamente attorno agli assi di flessione.

L'esponente α può dedursi in funzione della geometria della sezione, della percentuale meccanica dell'armatura e della sollecitazione di sforzo normale agente.

.se per almeno una di queste terne la relazione 4.1.10 non è rispettata, si incrementa l'armatura variando il diametro delle barre utilizzate e/o il numero delle stesse in maniera iterativa fino a quando la suddetta relazione è rispettata per tutte le terne considerate.

Sempre quanto concerne il progetto degli elementi in c.a. illustriamo in dettaglio il procedimento seguito per le travi verificate/semiprogettate a pressoflessione retta:

- per tutte le coppie M_x , N , individuate secondo la modalità precedentemente illustrata, si calcola il coefficiente di sicurezza in base all'armatura adottata;
- .se per almeno una di queste coppie esso è inferiore all'unità, si incrementa l'armatura variando il diametro delle barre utilizzate e/o il numero delle stesse in maniera iterativa fino a quando il coefficiente di sicurezza risulta maggiore o al più uguale all'unità per tutte le coppie considerate.

Una volta semiprogettate le armature allo SLU, si procede alla verifica delle sezioni allo Stato Limite di Esercizio con le sollecitazioni derivanti dalle combinazioni rare, frequenti e quasi permanenti; se necessario, le armature vengono integrate per far rientrare le tensioni entro i massimi valori previsti.

Successivamente si procede alle verifiche alla deformazione, quando richiesto, ed alla fessurazione che, come è noto, sono tese ad assicurare la durabilità dell'opera nel tempo.

9.1.1.1 Fondazioni superficiali

Le metodologie, i modelli usati ed i risultati del calcolo del **carico limite** sono esposti nella relazione GEOTECNICA.

9.2 Gerarchia delle Resistenze

9.2.1 Elementi in C.A.

Relativamente agli elementi in c.a., sono state applicate le disposizioni contenute al par. 7.4.4 del D.M. 14/01/2008. Più in particolare:

- per le **travi**, al fine di escludere la formazione di meccanismi inelastici dovuti al **taglio**, le sollecitazioni di calcolo si ottengono sommando il contributo dovuto ai carichi gravitazionali agenti sulla trave, considerata incernierata agli estremi, alle sollecitazioni di taglio corrispondenti alla formazione delle cerniere plastiche nella trave e prodotte dai momenti resistenti delle due sezioni di estremità, amplificati del fattore di sovraresistenza γ_{Rd} assunto pari, rispettivamente, ad 1,20 per strutture in CD"A", ad 1,00 per strutture in CD"B". La verifica di resistenza è eseguita secondo le indicazioni del par. 7.4.4.1.2.2.
- per i **pilastr**i, al fine di scongiurare l'attivazione di meccanismi fragili globali, come il meccanismo di "piano debole" che comporta la plasticizzazione, anticipata rispetto alle travi, di gran parte dei pilastri di un piano, il progetto a **flessione** delle zone dissipative dei pilastri è effettuato considerando le sollecitazioni corrispondenti alla resistenza delle zone dissipative delle travi amplificata mediante il coefficiente γ_{Rd} che vale 1,3 in CD"A" e 1,1 per CD"B". In tali casi, generalmente, il meccanismo dissipativo prevede la localizzazione delle cerniere alle estremità delle travi e le sollecitazioni di progetto dei pilastri possono essere ottenute a partire dalle resistenze d'estremità delle travi che su di essi convergono, facendo in modo che, per ogni nodo trave-pilastro ed ogni direzione e verso dell'azione sismica, la resistenza complessiva dei pilastri sia maggiore della resistenza complessiva delle travi amplificata del coefficiente γ_{Rd} , in accordo con la formula (7.4.4) del D.M. 14/01/2008. Le verifiche di resistenza sono eseguite secondo le indicazioni del par. 7.4.4.2.2.1.

Al fine di escludere la formazione di meccanismi inelastici dovuti al **taglio**, le sollecitazioni di calcolo da utilizzare per le verifiche ed il dimensionamento delle armature si ottengono dalla condizione di equilibrio del pilastro soggetto all'azione dei momenti resistenti nelle sezioni di estremità superiore ed inferiore secondo l'espressione (7.4.5). Le verifiche di resistenza sono eseguite secondo le indicazioni del par. 7.4.4.2.2.2.

- per i **nodi trave-pilastr**o, si deve verificare che la resistenza del nodo sia tale da assicurare che non pervenga a rottura prima delle zone della trave e del pilastro ad esso adiacente. L'azione di taglio, agente in direzione orizzontale per le varie direzioni del sisma, nel nucleo di calcestruzzo del nodo è calcolata secondo l'espressione (7.4.6) per i nodi interni e (7.4.7) per quelli esterni. Le verifiche di resistenza sono eseguite invece secondo le indicazioni del par. 7.4.4.3.1.

- per i **setti** sismo resistenti, le sollecitazioni di calcolo sono determinate secondo quanto indicato nel par. 7.4.4.5.1. Le verifiche di resistenza sono eseguite invece secondo le indicazioni del par. 7.4.4.5.2.

9.2.2 Fondazioni

Per quanto riguarda la struttura di fondazione sono applicate le disposizioni contenute al par. 7.2.5 del D.M. 14/01/2008. Più in particolare:

- le azioni trasmesse in fondazione derivano dall'analisi del comportamento dell'intera struttura, condotta esaminando la sola struttura in elevazione alla quale sono applicate le azioni statiche e sismiche;
- il dimensionamento della struttura di fondazione e la verifica di sicurezza del complesso fondazione-terreno sono eseguite, nell'ipotesi di comportamento strutturale dissipativo, assumendo come azioni in fondazione quelle trasferite dagli elementi soprastanti amplificate di un coefficiente γ_{Rd} pari a 1,1 in CD"B" e 1,3 in CD"A".

9.3 Verifiche SLD

Essendo la struttura di **Classe 4** sono state condotte le Verifiche allo Stato Limite di Danno come indicato al par. 7.3.7.1 del D.M. 14/01/2008, assumendo fattori parziali dei materiali γ_m pari a 1.

10 - TABULATI DI CALCOLO

MATERIALI CALCESTRUZZO ARMATO

N _{id}	γ_k	$\alpha_{T,i}$	E	G	C _{Erid}	Stz	R _{ck}	R _{cm}	%R _{ck}	γ_c	Caratteristiche calcestruzzo armato				
											f _{cd}	f _{ctd}	f _{cfm}	N	n Ac
	[N/m ³]	[1/°C]	[N/mm ²]	[N/mm ²]	[%]		[N/mm ²]	[N/mm ²]			[N/mm ²]	[N/mm ²]	[N/mm ²]		
Cls C25/30_B450C - (C25/30)															
001	25.000	0,000010	31.447	13.103	60	P	30,00	-	0,85	1,50	14,11	1,19	3,07	15	002

LEGENDA:

- N_{id}** Numero identificativo del materiale, nella relativa tabella dei materiali.
- γ_k** Peso specifico.
- $\alpha_{T,i}$** Coefficiente di dilatazione termica.
- E** Modulo elastico normale.
- G** Modulo elastico tangenziale.
- C_{Erid}** Coefficiente di riduzione del Modulo elastico normale per Analisi Sismica [$E_{sisma} = E \cdot C_{Erid}$].
- Stz** Tipo di situazione: [F] = di Fatto (Esistente); [P] = di Progetto (Nuovo).
- R_{ck}** Resistenza caratteristica cubica.
- R_{cm}** Resistenza media cubica.
- %R_{ck}** Percentuale di riduzione della R_{ck}
- γ_c** Coefficiente parziale di sicurezza del materiale.
- f_{cd}** Resistenza di calcolo a compressione.
- f_{ctd}** Resistenza di calcolo a trazione.
- f_{cfm}** Resistenza media a trazione per flessione.
- n Ac** Identificativo, nella relativa tabella materiali, dell'acciaio utilizzato: [-] = parametro NON significativo per il materiale.

MATERIALI ACCIAIO

Caratteristiche acciaio

N _{id}	γ _k	α _{T, i}	E	G	Stz	f _{yk,1} /	f _{tk,1} /	f _{yd,1} /	f _{td}	γ _s	γ _{M1}	γ _{M2}	γ _{M3,SLV}	γ _{M3,SLE}	γ _{M7}	NCnt	Cnt
						f _{yk,2}	f _{tk,2}	f _{yd,2}									
	3 [N/m]	[1/°C]	2 [N/mm]	2 [N/mm]		2 [N/mm]	2 [N/mm]	2 [N/mm]	2 [N/mm]								
Acciaio B450C - (B450C)																	
002	78.500	0,000010	210.000	80.769	P	450,00	-	391,30	-	1,15	-	-	-	-	-	-	-

LEGENDA:

- N_{id}** Numero identificativo del materiale, nella relativa tabella dei materiali.
- γ_k** Peso specifico.
- α_{T, i}** Coefficiente di dilatazione termica.
- E** Modulo elastico normale.
- G** Modulo elastico tangenziale.
- Stz** Tipo di situazione: [F] = di Fatto (Esistente); [P] = di Progetto (Nuovo).
- f_{tk,1}** Resistenza caratteristica a Rottura (per profili con t ≤ 40 mm).
- f_{tk,2}** Resistenza caratteristica a Rottura (per profili con 40 mm < t ≤ 80 mm).
- f_{td}** Resistenza di calcolo a Rottura (Bulloni).
- γ_s** Coefficiente parziale di sicurezza allo SLV del materiale.
- γ_{M1}** Coefficiente parziale di sicurezza per instabilità.
- γ_{M2}** Coefficiente parziale di sicurezza per sezioni tese indebolite.
- γ_{M3,SLV}** Coefficiente parziale di sicurezza per scorrimento allo SLV (Bulloni).
- γ_{M3,SLE}** Coefficiente parziale di sicurezza per scorrimento allo SLE (Bulloni).
- γ_{M7}** Coefficiente parziale di sicurezza precarico di bulloni ad alta resistenza (Bulloni - NCnt = con serraggio NON controllato; Cnt = con serraggio controllato). [-] = parametro NON significativo per il materiale.
- f_{yk,1}** Resistenza caratteristica allo snervamento (per profili con t ≤ 40 mm).
- f_{yk,2}** Resistenza caratteristica allo snervamento (per profili con 40 mm < t ≤ 80 mm).
- f_{yd,1}** Resistenza di calcolo (per profili con t ≤ 40 mm).
- f_{yd,2}** Resistenza di calcolo (per profili con 40 mm < t ≤ 80 mm).
- NOTE** [-] = Parametro non significativo per il materiale.

TENSIONI AMMISSIBILI ALLO SLE DEI VARI MATERIALI

Tensioni ammissibili allo SLE dei vari materiali			
Materiale	SL	Tensione di verifica	σ _{d,amm} ²
			[N/mm]
Cls C25/30_B450C	Caratteristica(RARA)	Compressione Calcestruzzo	14,94
	Quasi permanente	Compressione Calcestruzzo	11,21
Acciaio B450C	Caratteristica(RARA)	Trazione Acciaio	360,00

LEGENDA:

- SL** Stato limite di esercizio per cui si esegue la verifica.
- σ_{d,amm}** Tensione ammissibile per la verifica.

TERRENI

N _{TRN}	γ _T	K			φ	c _u	c'	E _d	E _{cu}	A _{S-B}
		K _X	K _Y	K _Z						
	3 [N/m]	3 [N/cm]	3 [N/cm]	3 [N/cm]	[°]	2 [N/mm]	2 [N/mm]	2 [N/mm]	2 [N/mm]	
Argilla fluviolacustre sabbiosa										
T001	17.000	10	10	30	10	0,150	0,000	15	60	0,750

LEGENDA:

- N_{TRN}** Numero identificativo del terreno.
- γ_T** Peso specifico del terreno.
- K** Valori della costante di sottofondo del terreno nelle direzioni degli assi del riferimento globale X (K_X), Y (K_Y), e Z (K_Z).
- φ** Angolo di attrito del terreno.
- c_u** Coesione non drenata.
- c'** Coesione efficace.
- E_d** Modulo edometrico.
- E_{cu}** Modulo elastico in condizione non drenate.
- A_{S-B}** Parametro "A" di Skempton-Bjerrum per pressioni interstiziali.

SEZIONI ASTE

N _{id}	Tp	Label	Dimensioni										v	A	Area per Taglio		Inerzia				ΔΘ _I _{pr}
			B	H	Sp _w	L _w	Sp _{f,0}	L _{f,0}	Sp _{f,1}	L _{f,1}	L _{f,2}	L _{f,3}			A _{X,T}	A _{Y,T}	I _X	I _T	I _Y	I _{XY}	
			[cm]	[cm]	[cm]	[cm]	[cm]	[cm]	[cm]	[cm]	[cm]	[cm]	[cm]	[cm ²]	[cm ²]	[cm ⁴]	[cm ⁴]	[cm ⁴]	[cm ⁴]	[°]	
001		25x40	25	40	-	-	-	-	-	-	-	-	4	1.000	833	833	133.333	126.525	52.083	0	0,00
002		25x35	25	35	-	-	-	-	-	-	-	-	4	875	729	729	89.323	101.664	45.573	0	0,00
003		30x25	30	25	-	-	-	-	-	-	-	-	4	750	625	625	39.063	77.859	56.250	0	0,00
004		25x25	25	25	-	-	-	-	-	-	-	-	4	625	521	521	32.552	54.922	32.552	0	0,00
005		35x25	35	25	-	-	-	-	-	-	-	-	4	875	729	729	45.573	101.664	89.323	0	0,00
006		TR- 80/40x60/30	80	60	40	30	30	20	-	20	-	-	10	3.600	3.298	2.779	990.000	845.856	1.440.000	0	0,00
007		TR- 80/40x45/30	80	45	40	15	30	20	-	20	-	-	10	3.000	2.688	2.593	434.250	544.812	1.360.000	0	0,00
008		25x50	25	50	-	-	-	-	-	-	-	-	4	1.250	1.042	1.042	260.417	178.906	65.104	0	0,00
009		30x30	30	30	-	-	-	-	-	-	-	-	4	900	750	750	67.500	113.886	67.500	0	0,00
010		25x70	25	70	-	-	-	-	-	-	-	-	4	1.750	1.458	1.458	714.583	364.583	91.146	0	0,00
011		Ø30	30	-	-	-	-	-	-	-	-	-	-	707	636	636	39.761	79.522	39.761	0	0,00

LEGENDA:

- N_{id}** Numero identificativo della sezione.
- Tp** Tipo di sezione.
- Label** Identificativo della sezione come indicato nelle carpenterie.
- B** Base/Diametro/Raggio.
- H** Altezza/Lato/Altezza di colmo.
- Sp_w** Spessore anima.
- L_w** Lunghezza anima.
- Sp_{f,0}** Spessore ala 0.
- L_{f,0}** Lunghezza ala 0.
- Sp_{f,1}** Spessore ala 1.
- L_{f,1}** Lunghezza ala 1.
- L_{f,2}** Lunghezza ala 2.
- L_{f,3}** Lunghezza ala 3.
- v** Nel caso di sezioni poligonali, indica il numero dei vertici della sezione.
- A** Area della sezione.
- ΔΘ_I_{pr}** Rotazione degli assi principali d'inerzia rispetto agli assi X, Y, espresse in gradi sessadecimali.
- Inerzia** Inerzie della sezione rispetto agli assi.

ANALISI CARICHI

N _{id}	T. C.	Descrizione del Carico	Tipologie di Carico	Peso Proprio		Permanente NON Strutturale		Sovraccarico Accidentale		Carico Neve
				Descrizione	PP	Descrizione	PNS	Descrizione	SA	
001	S	thermothek bio 30 + marrone f v	Carico Permanente	thermothek bio 30 + marrone f v	3.900	intonaco interno e rinzafo	500		0	0
002	S	Parete 30cm	Carico Permanente	thermothek bio 30	1.600	Intonaco interno e intonaco esterno	740		0	0
003	S	LatCem Cop.non acc. H24	Coperture	Solaio di tipo tradizionale latero-cementizio di spessore 24 cm (20+4)	3.400	Pietrisco, impermeabilizzazione, masseto di pendenza, isolamento, e intonaco inferiore	2.750	Coperture e sottotetti accessibili per sola manutenzione (Cat. H1 – Tab. 3.1.II - DM 14.01.2008)	1.000	500

LEGENDA:

- N_{id}** Numero identificativo dell'analisi di carico.
- T. C.** Identificativo del tipo di carico: [S] = Superficiale - [L] = Lineare - [C] = Concentrato.
- PP, PNS, SA** Valori, rispettivamente, del Peso Proprio, del Sovraccarico Permanente NON strutturale, del Sovraccarico Accidentale. Secondo il tipo di carico indicato nella colonna "T.C." ("S" - "L" - "C"), i valori riportati nelle colonne "PP", "PNS" e "SA", sono espressi in [N/m²] per carichi Superficiali, [N/m] per carichi Lineari, [N] per carichi Concentrati.

TIPOLOGIE DI CARICO

N _{id}	Descrizione	Tipologie di carico					
		F+E	+/- F	CDC	ψ ₀	ψ ₁	ψ ₂
0001	Carico Permanente	SI	NO	Permanente	1,00	1,00	1,00
0002	Permanenti NON Strutturali	SI	NO	Permanente	1,00	1,00	1,00
0003	Coperture	SI	NO	Media	0,00	0,00	0,00
0004	Carico da Neve <= 1000 m s.l.m.	SI	NO	Breve	0,50	0,20	0,00
0005	Pressione del Vento (+X)	NO	NO	Istantanea	0,60	0,20	0,00
0006	Pressione del Vento (-X)	NO	NO	Istantanea	0,60	0,20	0,00
0007	Pressione del Vento (+Y)	NO	NO	Istantanea	0,60	0,20	0,00
0008	Pressione del Vento (-Y)	NO	NO	Istantanea	0,60	0,20	0,00
0009	Sisma X	NO	NO	Media	1,00	1,00	1,00
0010	Sisma Y	NO	NO	Media	1,00	1,00	1,00
0011	Sisma Z	NO	NO	Media	1,00	1,00	1,00
0012	Sisma Ecc.X	NO	NO	Media	1,00	1,00	1,00
0013	Sisma Ecc.Y	NO	NO	Media	1,00	1,00	1,00

LEGENDA:

- N_{id}** Numero identificativo della Tipologia di Carico.
- F+E** Indica se la tipologia di carico considerata è AGENTE con il sisma.
- +/- F** Indica se la tipologia di carico è ALTERNATA (cioè considerata due volte con segno opposto) o meno.
- CDC** Indica la classe di durata del carico.
 NOTA: dato significativo solo per elementi in materiale legnoso.
- ψ₀** Coefficiente riduttivo dei carichi allo SLU e SLE (carichi rari).
- ψ₁** Coefficiente riduttivo dei carichi allo SLE (carichi frequenti).
- ψ₂** Coefficiente riduttivo dei carichi allo SLE (carichi frequenti e quasi permanenti).

DATI GENERALI ANALISI SISMICA

Dati generali analisi sismica											
Ang	NV	CD	MP	Dir	TS	EcA	Ir _{Tmp}	C.S.T.	RP	RH	ξ
[°]											
0	15	B	ca	X	[T +C]	S	N	C	NO	NO	5
				Y	[T +C]						

LEGENDA:

- Ang** Direzione di una componente dell'azione sismica rispetto all'asse X (sistema di riferimento globale); la seconda componente dell'azione sismica e' assunta con direzione ruotata di 90 gradi rispetto alla prima.
- NV** Nel caso di analisi dinamica, indica il numero di modi di vibrazione considerati.
- CD** Classe di duttilità: [A] = Alta - [B] = Bassa - [ND] = Non Dissipativa - [-] = Nessuna.
- MP** Tipo di struttura sismo-resistente prevalente: [ca] = calcestruzzo armato - [caOld] = calcestruzzo armato esistente - [muOld] = muratura esistente - [muNew] = muratura nuova - [muArm] = muratura armata - [ac] = acciaio.
- Dir** Direzione del sisma.
- TS** Tipologia della struttura:
 Cemento armato: [T 1C] = Telai ad una sola campata - [T+C] = Telai a più campate - [P] = Pareti accoppiate o miste equivalenti a pareti- [2P NC] = Due pareti per direzione non accoppiate - [P NC] = Pareti non accoppiate - [DT] = Deformabili torsionalmente - [PI] = Pendolo inverso - [PM] = Pendolo inverso intelaiate monopiano;
 Muratura: [P] = un solo piano - [PP] = più di un piano;
 Acciaio: [T 1C] = Telai ad una sola campata - [T+C] = Telai a più campate - [CT] = controventi concentrici diagonale tesa - [CV] = controventi concentrici a V - [M] = mensola o pendolo inverso - [TT] = telaio con tamponature.
- EcA** Eccentricità' accidentale: [S] = considerata come condizione di carico statica aggiuntiva - [N] = Considerata come incremento delle sollecitazioni.
- Ir_{Tmp}** Per piani con distribuzione dei tamponamenti in pianta fortemente irregolare, l'eccentricità' accidentale è stata incrementata di un fattore pari a 2: [SI] = Distribuzione tamponamenti irregolare fortemente - [NO] = Distribuzione tamponamenti regolare.
- C.S.T.** Categoria di sottosuolo: [A] = Ammassi rocciosi affioranti o terreni molto rigidi - [B] = Rocce tenere e depositi di terreni a grana grossa molto addensati o terreni a grana fina molto consistenti - [C] = Depositi di terreni a grana grossa mediamente addensati o terreni a grana fina mediamente consistenti - [D] = Depositi di terreni a grana grossa scarsamente addensati o di terreni a grana fina scarsamente consistenti - [E] = Terreni dei sottosuoli di tipo C o D per spessore non superiore a 20 m - [S1] = Depositi di terreni caratterizzati da valori di $V_{s,30}$ inferiori a 100 m/s (ovvero $10 < c_{u,30} < 20$ kPa), che includono uno strato di almeno 8 m di terreni a grana fina di bassa consistenza, oppure che includono almeno 3 m di torba o di argille altamente organiche - [S2] = Depositi di terreni suscettibili di liquefazione, di argille sensitive o qualsiasi altra categoria di sottosuolo non classificabile nei tipi precedenti.
- RP** Regolarita' in pianta: [SI] = Struttura regolare - [NO] = Struttura non regolare.
- RH** Regolarita' in altezza: [SI] = Struttura regolare - [NO] = Struttura non regolare.
- ξ** Coefficiente viscoso equivalente.
- NOTE** [-] = Parametro non significativo per il tipo di calcolo effettuato.

DATI GENERALI ANALISI SISMICA - FATTORI DI STRUTTURA

Dir. X				Dir. Y				Fattori di struttura	
q	q ₀	α _u /α ₁	K _w	q	q ₀	α _u /α ₁	K _w	Dir. Z	q
2,760	3,45	1,15	-	2,760	3,45	1,15	-		1,500

LEGENDA:

- q** Fattore di riduzione dello spettro di risposta sismico allo SLU (Fattore di struttura).
q₀ Valore di base.
α_u/α₁ Rapporto di sovraresistenza.
K_w Fattore di riduzione di q₀.

Stato Limite	T _r	a _g /g	Amplif. Stratigrafica		F ₀	T _C *	T _B	T _C	T _D
			S _S	C _C					
	[t]					[s]	[s]	[s]	[s]
SLO	60	0,0254	1,500	1,563	2,685	0,299	0,156	0,468	1,702
SLD	101	0,0314	1,500	1,550	2,730	0,307	0,159	0,476	1,726
SLV	949	0,0599	1,500	1,457	2,976	0,371	0,180	0,540	1,840
SLC	1950	0,0707	1,500	1,429	3,061	0,393	0,187	0,562	1,883

LEGENDA:

- T_r** Periodo di ritorno dell'azione sismica. [t] = anni.
a_g/g Coefficiente di accelerazione al suolo.
S_S Coefficienti di Amplificazione Stratigrafica allo SLO/SLD/SLV/SLC.
C_C Coefficienti di Amplificazione di T_c allo SLO/SLD/SLV/SLC.
F₀ Valore massimo del fattore di amplificazione dello spettro in accelerazione orizzontale.
T_C* Periodo di inizio del tratto a velocità costante dello spettro in accelerazione orizzontale.
T_B Periodo di inizio del tratto accelerazione costante dello spettro di progetto.
T_C Periodo di inizio del tratto a velocità costante dello spettro di progetto.
T_D Periodo di inizio del tratto a spostamento costante dello spettro di progetto.

Cl Ed	V _N	V _R	Lat.	Long.	Q _g	CTop	S _T
4	[t] 50	[t] 100	[°ssdc] 39.9072	[°ssdc] 8.6011	[m] 10	T1	1,00

LEGENDA:

- Cl Ed** Classe dell'edificio.
Lat. Latitudine geografica del sito.
Long. Longitudine geografica del sito.
Q_g Altitudine geografica del sito.
CTop Categoria topografica (Vedi NOTE).
S_T Coefficiente di amplificazione topografica.

NOTE

- [-] = Parametro non significativo per il tipo di calcolo effettuato.
 Categoria topografica.
 T1: Superficie pianeggiante, pendii e rilievi isolati con inclinazione media $i \leq 15^\circ$.
 T2: Pendii con inclinazione media $i > 15^\circ$.
 T3: Rilievi con larghezza in cresta molto minore che alla base e inclinazione media $15^\circ \leq i \leq 30^\circ$.
 T4: Rilievi con larghezza in cresta molto minore che alla base e inclinazione media $i > 30^\circ$.

PRINCIPALI ELEMENTI ANALISI SISMICA

Dir	M_{Str}	M_{SLU}	$M_{Ecc,SLU}$	M_{SLD}	$M_{Ecc,SLD}$	$\%T.M_{Ecc}$	$\Sigma V_{Ed,SLU}$
	² [N-s /m]	² [N-s /m]	² [N-s /m]	² [N-s /m]	² [N-s /m]	[%]	[N]
X	939.516	426.727	426.476	426.727	426.476	99,94	405.434
Y	939.516	426.727	426.501	426.727	426.501	99,95	340.454
Z	939.516	0	0	0	0	100,00	0

LEGENDA:

- Dir** Direzione del sisma.
 M_{Str} Massa complessiva della struttura.
 M_{SLU} Massa eccitabile allo SLU.
 $M_{Ecc,SLU}$ Massa Eccitata dal sisma allo SLU.
 M_{SLD} Massa eccitabile della struttura allo SLD, nelle direzioni X, Y, Z.
 $M_{Ecc,SLD}$ Massa Eccitata dal sisma allo SLD.
 $\%T.M_{Ecc}$ Percentuale Totale di Masse Eccitate dal sisma.
 $\Sigma V_{Ed,SLU}$ Tagliante totale, alla base, per sisma allo SLU.

RIEPILOGO MODI DI VIBRAZIONE MODI DI VIBRAZIONE N.15

Sptr	T	$a_{g,0}$	$a_{g,v}$	Γ	CM	$\%M.M$	M_{Ecc}
	[s]	² [m/s]	² [m/s]			[%]	² [N-s /m]
Modo Vibrazione n. 1							
SLU-X	0,643	0,798	0,000	21,900	0,2295	0,11	480
SLU-Y	0,643	0,798	0,000	580,895	6,0878	79,08	337.439
SLU-Z	0,000	0,000	0,194	0,000	0,0000	0,00	0
SLD-X	0,643	0,933	0,000	21,900	0,2295	0,11	480
SLD-Y	0,643	0,933	0,000	580,895	6,0878	79,08	337.439
SLD-Z	0,000	0,000	0,074	0,000	0,0000	0,00	0
Elast-X	-	0,933	0,000	-	-	-	-
Elast-Y	-	0,933	0,000	-	-	-	-
Elast-Z	-	0,000	0,194	-	-	-	-
Modo Vibrazione n. 2							
SLU-X	0,423	0,950	0,000	564,622	2,5614	74,71	318.798
SLU-Y	0,423	0,950	0,000	116,784	0,5298	3,20	13.639
SLU-Z	0,000	0,000	0,194	0,000	0,0000	0,00	0
SLD-X	0,423	1,261	0,000	564,622	2,5614	74,71	318.798
SLD-Y	0,423	1,261	0,000	116,784	0,5298	3,20	13.639
SLD-Z	0,000	0,000	0,074	0,000	0,0000	0,00	0
Elast-X	-	1,261	0,000	-	-	-	-
Elast-Y	-	1,261	0,000	-	-	-	-
Elast-Z	-	0,000	0,194	-	-	-	-
Modo Vibrazione n. 3							
SLU-X	0,437	0,950	0,000	318,810	1,5424	23,82	101.640
SLU-Y	0,437	0,950	0,000	-246,918	-1,1946	14,29	60.968
SLU-Z	0,000	0,000	0,194	0,000	0,0000	0,00	0
SLD-X	0,437	1,261	0,000	318,810	1,5424	23,82	101.640
SLD-Y	0,437	1,261	0,000	-246,918	-1,1946	14,29	60.968
SLD-Z	0,000	0,000	0,074	0,000	0,0000	0,00	0
Elast-X	-	1,261	0,000	-	-	-	-
Elast-Y	-	1,261	0,000	-	-	-	-
Elast-Z	-	0,000	0,194	-	-	-	-
Modo Vibrazione n. 4							
SLU-X	0,128	0,930	0,000	-11,752	-0,0049	0,03	138
SLU-Y	0,128	0,930	0,000	-89,910	-0,0372	1,89	8.084
SLU-Z	0,000	0,000	0,194	0,000	0,0000	0,00	0
SLD-X	0,128	1,106	0,000	-11,752	-0,0049	0,03	138
SLD-Y	0,128	1,106	0,000	-89,910	-0,0372	1,89	8.084
SLD-Z	0,000	0,000	0,074	0,000	0,0000	0,00	0
Elast-X	-	1,106	0,000	-	-	-	-
Elast-Y	-	1,106	0,000	-	-	-	-
Elast-Z	-	0,000	0,194	-	-	-	-
Modo Vibrazione n. 5							
SLU-X	0,083	0,913	0,000	-61,736	-0,0107	0,89	3.811
SLU-Y	0,083	0,913	0,000	-7,163	-0,0012	0,01	51
SLU-Z	0,000	0,000	0,194	0,000	0,0000	0,00	0
SLD-X	0,083	0,879	0,000	-61,736	-0,0107	0,89	3.811
SLD-Y	0,083	0,879	0,000	-7,163	-0,0012	0,01	51
SLD-Z	0,000	0,000	0,074	0,000	0,0000	0,00	0
Elast-X	-	0,879	0,000	-	-	-	-
Elast-Y	-	0,879	0,000	-	-	-	-
Elast-Z	-	0,000	0,194	-	-	-	-
Modo Vibrazione n. 6							
SLU-X	0,096	0,918	0,000	-16,034	-0,0037	0,06	257
SLU-Y	0,096	0,918	0,000	55,838	0,0130	0,73	3.118
SLU-Z	0,000	0,000	0,194	0,000	0,0000	0,00	0

SLD-X	0,096	0,945	0,000	-16,034	-0,0037	0,06	257
SLD-Y	0,096	0,945	0,000	55,838	0,0130	0,73	3.118
SLD-Z	0,000	0,000	0,074	0,000	0,0000	0,00	0
Elast-X	-	0,945	0,000	-	-	-	-
Elast-Y	-	0,945	0,000	-	-	-	-
Elast-Z	-	0,000	0,194	-	-	-	-
Modo Vibrazione n. 7							
SLU-X	0,094	0,917	0,000	0,578	0,0001	0,00	0
SLU-Y	0,094	0,917	0,000	31,433	0,0071	0,23	988
SLU-Z	0,000	0,000	0,194	0,000	0,0000	0,00	0
SLD-X	0,094	0,938	0,000	0,578	0,0001	0,00	0
SLD-Y	0,094	0,938	0,000	31,433	0,0071	0,23	988
SLD-Z	0,000	0,000	0,074	0,000	0,0000	0,00	0
Elast-X	-	0,938	0,000	-	-	-	-
Elast-Y	-	0,938	0,000	-	-	-	-
Elast-Z	-	0,000	0,194	-	-	-	-
Modo Vibrazione n. 8							
SLU-X	0,161	0,943	0,000	10,027	0,0066	0,02	101
SLU-Y	0,161	0,943	0,000	-29,764	-0,0196	0,21	886
SLU-Z	0,000	0,000	0,194	0,000	0,0000	0,00	0
SLD-X	0,161	1,261	0,000	10,027	0,0066	0,02	101
SLD-Y	0,161	1,261	0,000	-29,764	-0,0196	0,21	886
SLD-Z	0,000	0,000	0,074	0,000	0,0000	0,00	0
Elast-X	-	1,261	0,000	-	-	-	-
Elast-Y	-	1,261	0,000	-	-	-	-
Elast-Z	-	0,000	0,194	-	-	-	-
Modo Vibrazione n. 9							
SLU-X	0,083	0,913	0,000	26,725	0,0047	0,17	714
SLU-Y	0,083	0,913	0,000	3,459	0,0006	0,00	12
SLU-Z	0,000	0,000	0,194	0,000	0,0000	0,00	0
SLD-X	0,083	0,880	0,000	26,725	0,0047	0,17	714
SLD-Y	0,083	0,880	0,000	3,459	0,0006	0,00	12
SLD-Z	0,000	0,000	0,074	0,000	0,0000	0,00	0
Elast-X	-	0,880	0,000	-	-	-	-
Elast-Y	-	0,880	0,000	-	-	-	-
Elast-Z	-	0,000	0,194	-	-	-	-
Modo Vibrazione n. 10							
SLU-X	0,260	0,950	0,000	5,545	0,0095	0,01	31
SLU-Y	0,260	0,950	0,000	22,361	0,0383	0,12	500
SLU-Z	0,000	0,000	0,194	0,000	0,0000	0,00	0
SLD-X	0,260	1,261	0,000	5,545	0,0095	0,01	31
SLD-Y	0,260	1,261	0,000	22,361	0,0383	0,12	500
SLD-Z	0,000	0,000	0,074	0,000	0,0000	0,00	0
Elast-X	-	1,261	0,000	-	-	-	-
Elast-Y	-	1,261	0,000	-	-	-	-
Elast-Z	-	0,000	0,194	-	-	-	-
Modo Vibrazione n. 11							
SLU-X	0,207	0,950	0,000	7,433	0,0081	0,01	55
SLU-Y	0,207	0,950	0,000	-21,872	-0,0238	0,11	478
SLU-Z	0,000	0,000	0,194	0,000	0,0000	0,00	0
SLD-X	0,207	1,261	0,000	7,433	0,0081	0,01	55
SLD-Y	0,207	1,261	0,000	-21,872	-0,0238	0,11	478
SLD-Z	0,000	0,000	0,074	0,000	0,0000	0,00	0
Elast-X	-	1,261	0,000	-	-	-	-
Elast-Y	-	1,261	0,000	-	-	-	-
Elast-Z	-	0,000	0,194	-	-	-	-
Modo Vibrazione n. 12							
SLU-X	0,093	0,917	0,000	-13,498	-0,0030	0,04	182
SLU-Y	0,093	0,917	0,000	17,057	0,0038	0,07	291
SLU-Z	0,000	0,000	0,194	0,000	0,0000	0,00	0
SLD-X	0,093	0,932	0,000	-13,498	-0,0030	0,04	182
SLD-Y	0,093	0,932	0,000	17,057	0,0038	0,07	291
SLD-Z	0,000	0,000	0,074	0,000	0,0000	0,00	0
Elast-X	-	0,932	0,000	-	-	-	-
Elast-Y	-	0,932	0,000	-	-	-	-
Elast-Z	-	0,000	0,194	-	-	-	-
Modo Vibrazione n. 13							
SLU-X	0,079	0,911	0,000	-10,978	-0,0017	0,03	121
SLU-Y	0,079	0,911	0,000	2,521	0,0004	0,00	6
SLU-Z	0,000	0,000	0,194	0,000	0,0000	0,00	0
SLD-X	0,079	0,859	0,000	-10,978	-0,0017	0,03	121
SLD-Y	0,079	0,859	0,000	2,521	0,0004	0,00	6
SLD-Z	0,000	0,000	0,074	0,000	0,0000	0,00	0
Elast-X	-	0,859	0,000	-	-	-	-
Elast-Y	-	0,859	0,000	-	-	-	-
Elast-Z	-	0,000	0,194	-	-	-	-
Modo Vibrazione n. 14							
SLU-X	0,078	0,911	0,000	9,030	0,0014	0,02	82
SLU-Y	0,078	0,911	0,000	-4,211	-0,0006	0,00	18
SLU-Z	0,000	0,000	0,194	0,000	0,0000	0,00	0
SLD-X	0,078	0,855	0,000	9,030	0,0014	0,02	82
SLD-Y	0,078	0,855	0,000	-4,211	-0,0006	0,00	18
SLD-Z	0,000	0,000	0,074	0,000	0,0000	0,00	0
Elast-X	-	0,855	0,000	-	-	-	-
Elast-Y	-	0,855	0,000	-	-	-	-
Elast-Z	-	0,000	0,194	-	-	-	-

Modo Vibrazione n. 15

SLU-X	0,098	0,919	0,000	-8,100	-0,0020	0,02	66
SLU-Y	0,098	0,919	0,000	-4,820	-0,0012	0,01	23
SLU-Z	0,000	0,000	0,194	0,000	0,0000	0,00	0
SLD-X	0,098	0,954	0,000	-8,100	-0,0020	0,02	66
SLD-Y	0,098	0,954	0,000	-4,820	-0,0012	0,01	23
SLD-Z	0,000	0,000	0,074	0,000	0,0000	0,00	0
Elast-X	-	0,954	0,000	-	-	-	-
Elast-Y	-	0,954	0,000	-	-	-	-
Elast-Z	-	0,000	0,194	-	-	-	-

LEGENDA:

Sptr	Spettro di risposta considerato.
T	Periodo del Modo di vibrazione.
a_{g,O}	Valore dell'Accelerazione Spettrale Orizzontale, riferita al corrispondente periodo.
a_{g,V}	Valore dell'Accelerazione Spettrale Verticale, riferita al corrispondente periodo.
Γ	Coefficiente di partecipazione.
CM	Coefficiente modale del modo di vibrazione.
%M.M	Percentuale di mobilitazione delle masse nel modo di vibrazione.
M_{Ecc}	Massa Eccitata nel modo di vibrazione.
SLU-X	Spettro di progetto allo S.L. Ultimo per sisma in direzione X.
SLU-Y	Spettro di progetto allo S.L. Ultimo per sisma in direzione Y.
SLU-Z	Spettro di progetto allo S.L. Ultimo per sisma in direzione Z.
SLD-X	Spettro di progetto allo S.L. di Danno per sisma in direzione X.
SLD-Y	Spettro di progetto allo S.L. di Danno per sisma in direzione Y.
SLD-Z	Spettro di progetto allo S.L. di Danno per sisma in direzione Z.
Elast-X	Spettro Elastico per sisma in direzione X.
Elast-Y	Spettro Elastico per sisma in direzione Y.
Elast-Z	Spettro Elastico per sisma in direzione Z.